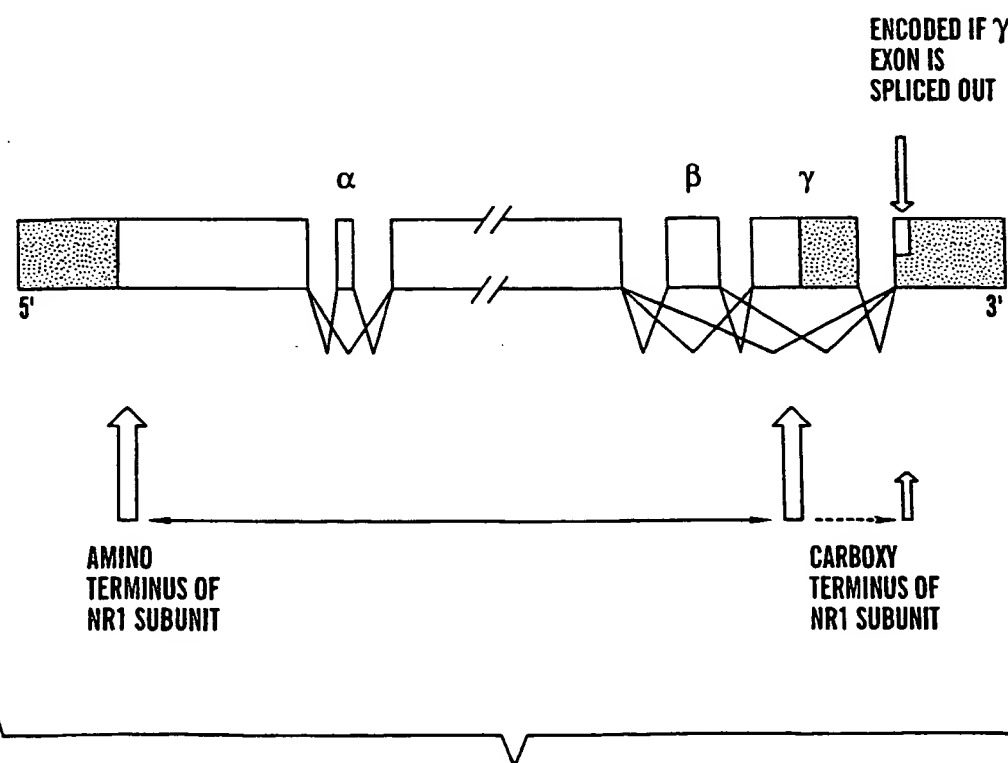


6623933

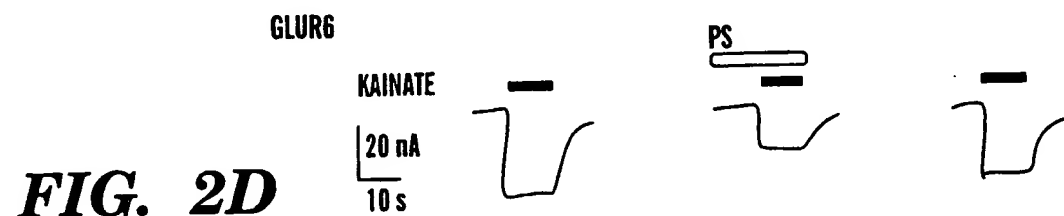
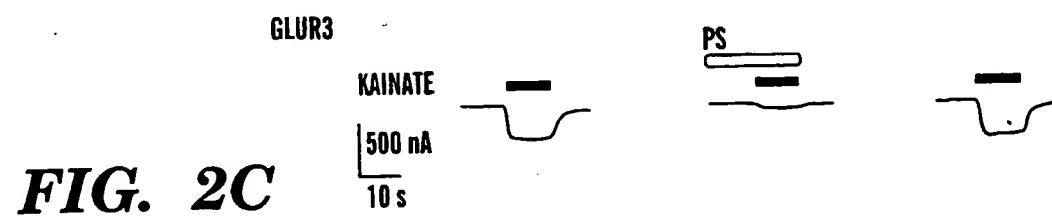
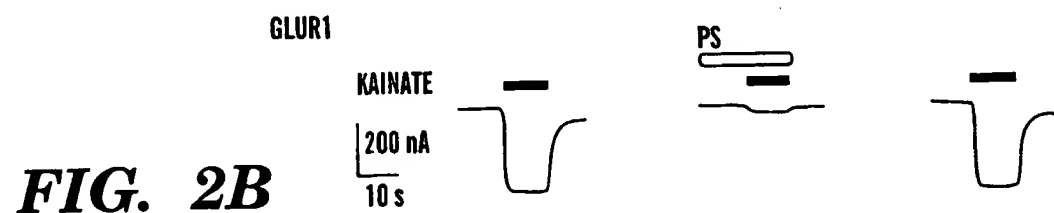
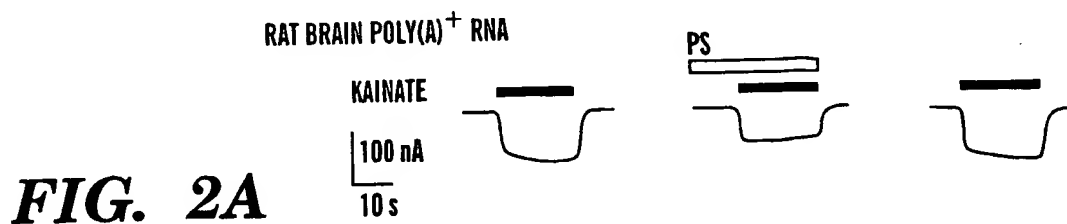
Prior Art Model

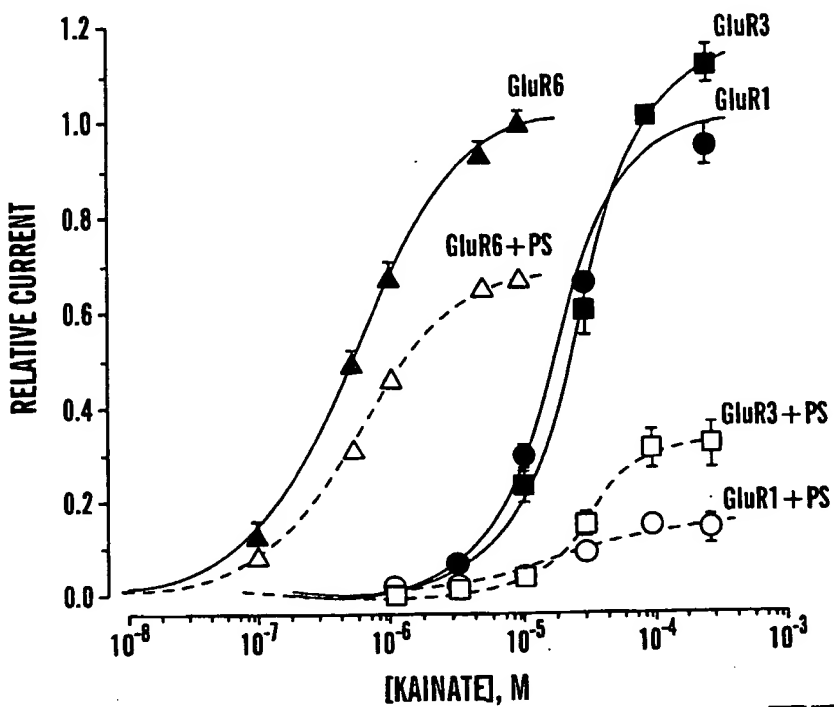
ALTERNATIVE SPliced EXONS	NO. OF AMINO ACIDS ENCODED
$\alpha$	21
$\beta$	37
$\gamma$	38

 CODING REGION  
 NON-CODING REGION

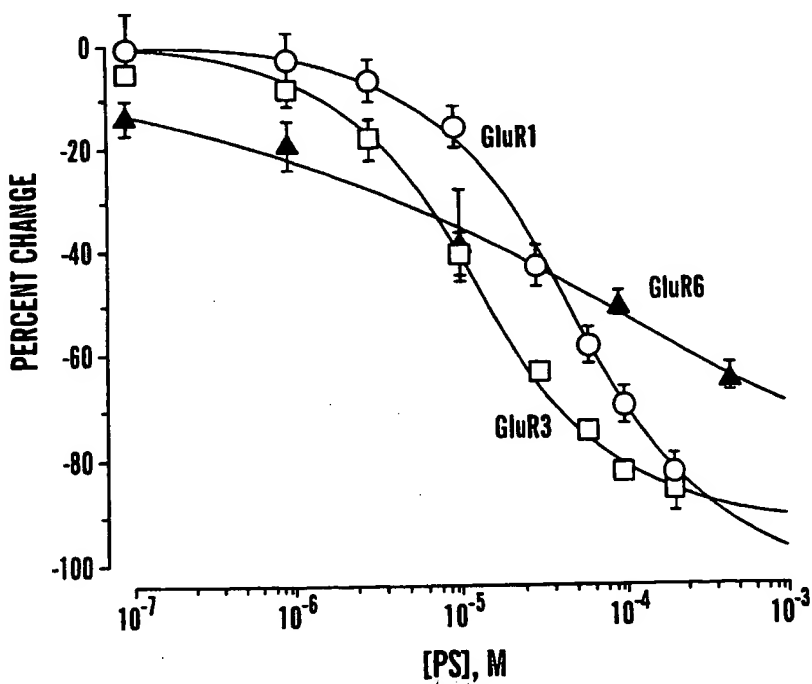


**FIG. 1**





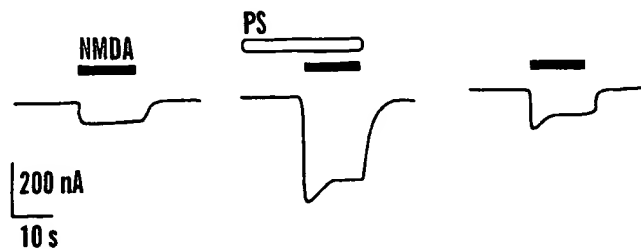
**FIG. 2E**



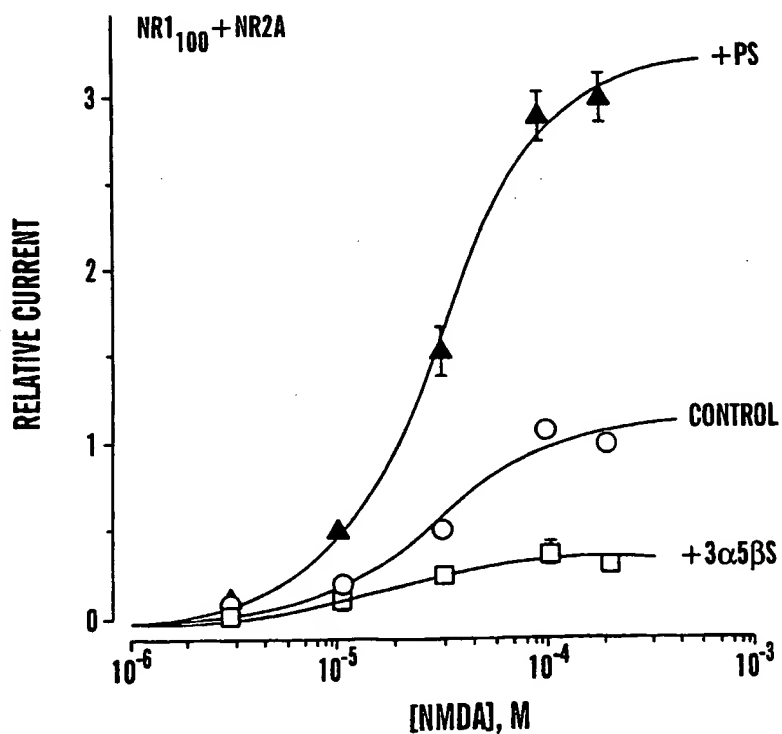
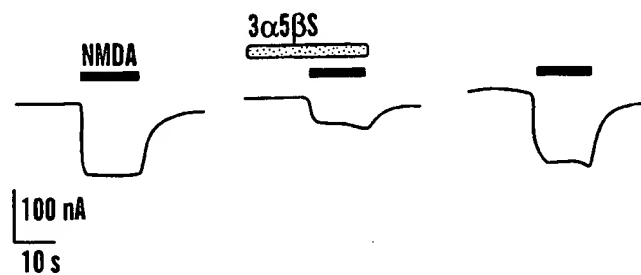
**FIG. 2F**



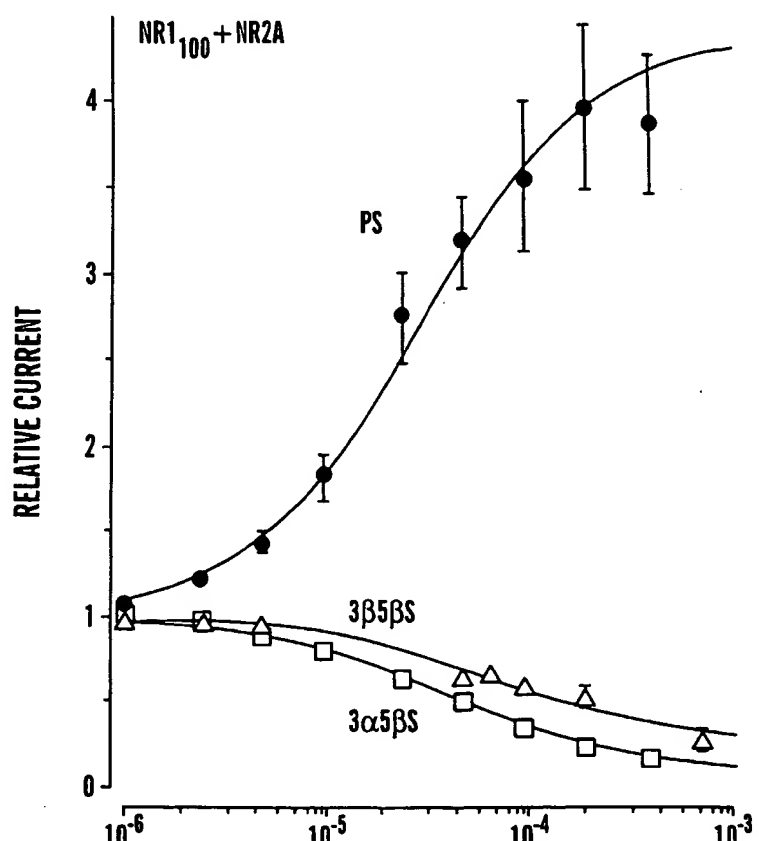
**FIG. 3A**



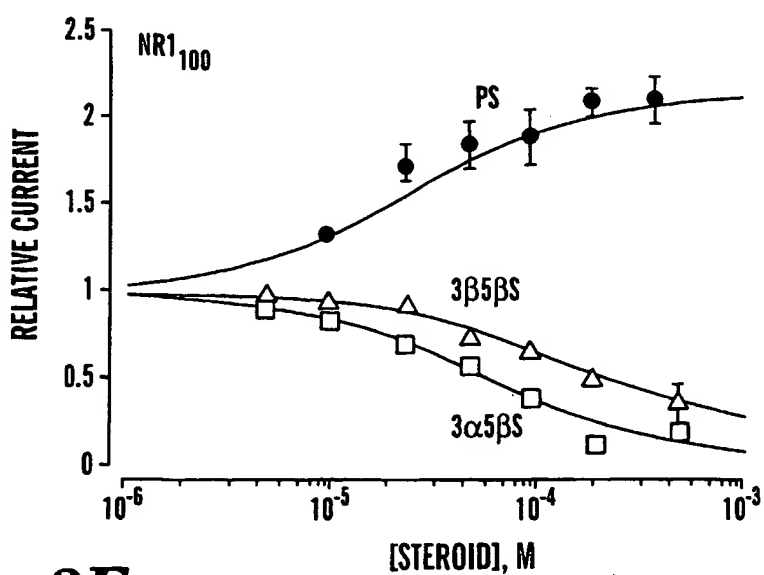
**FIG. 3B**



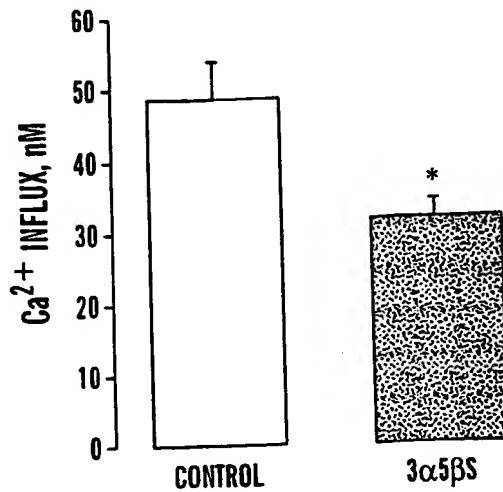
**FIG. 3C**



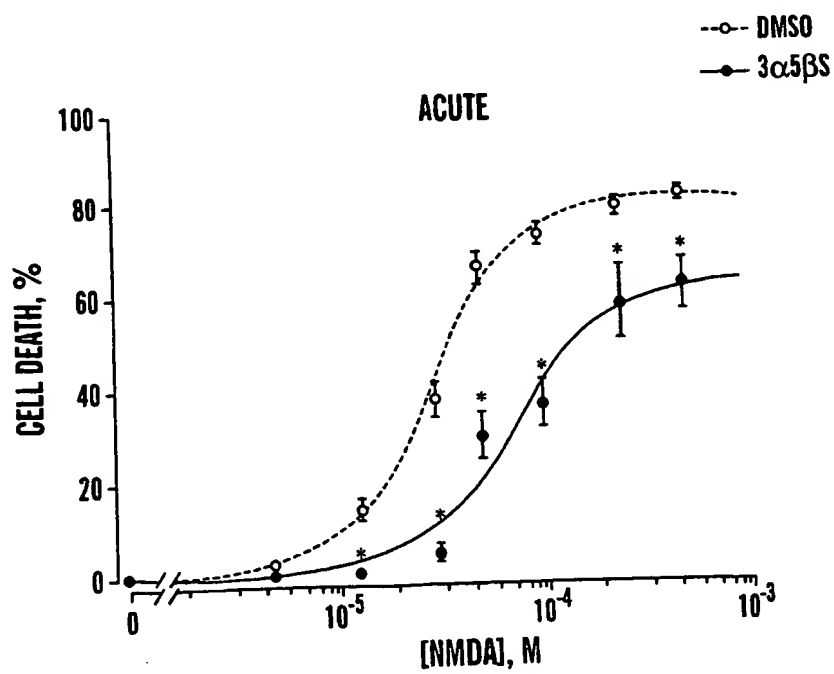
**FIG. 3D**



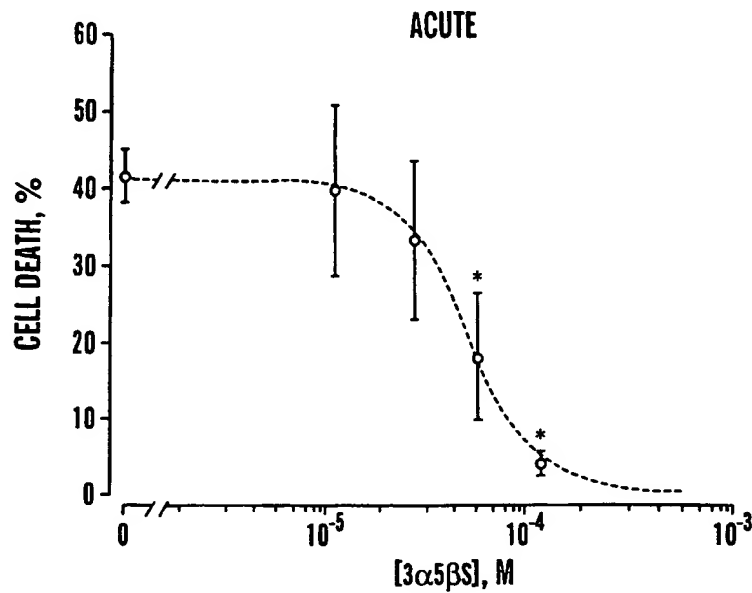
**FIG. 3E**



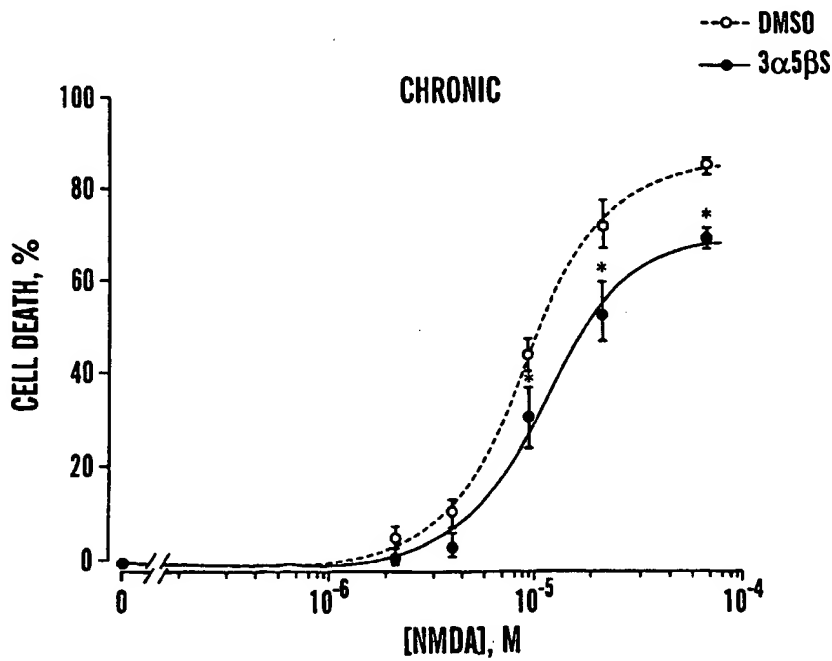
**FIG. 4A**



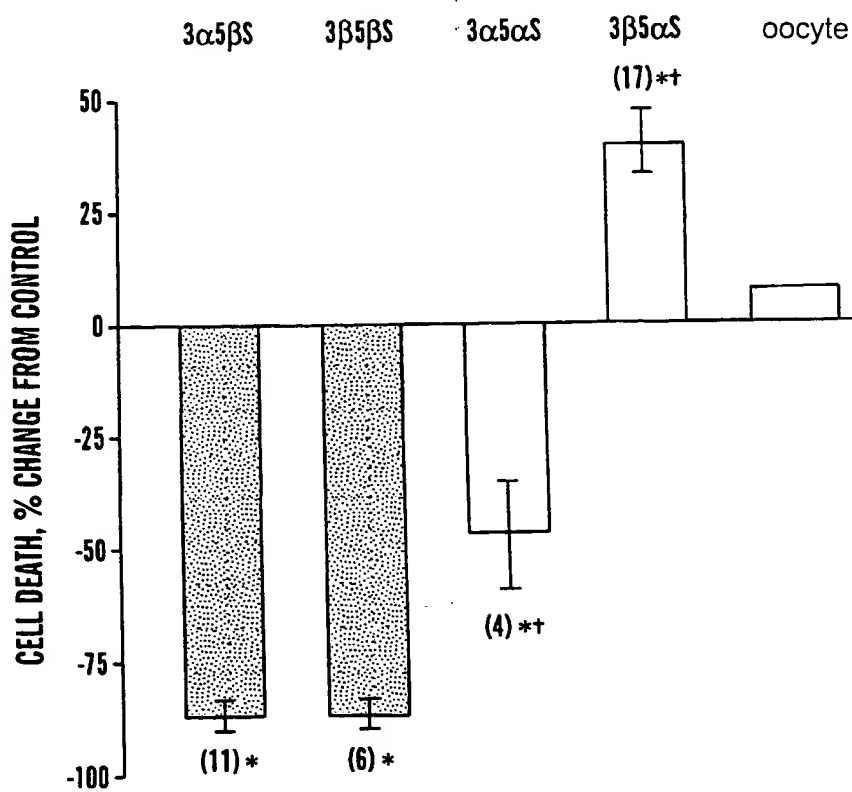
**FIG. 4B**



**FIG. 4C**



**FIG. 4D**



**FIG. 5**

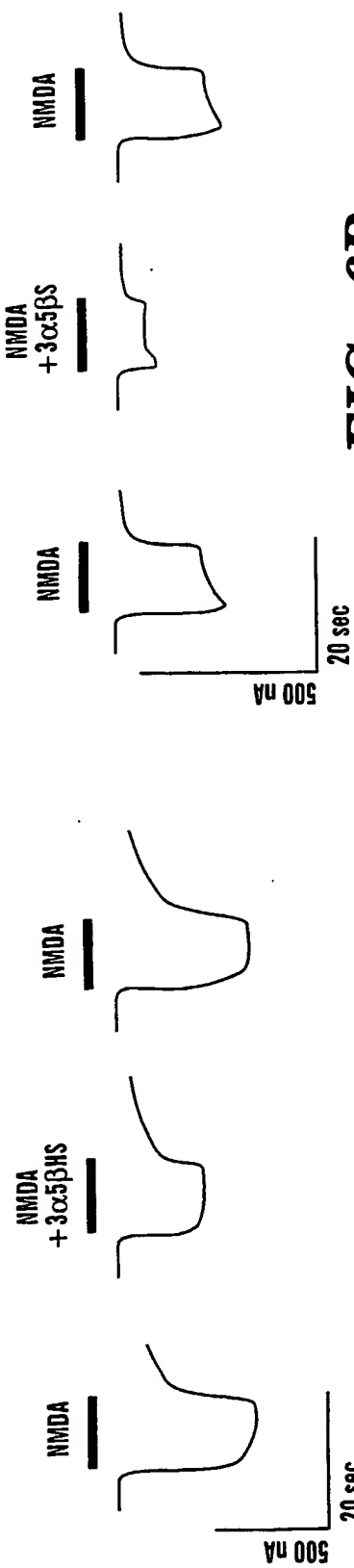


FIG. 6B

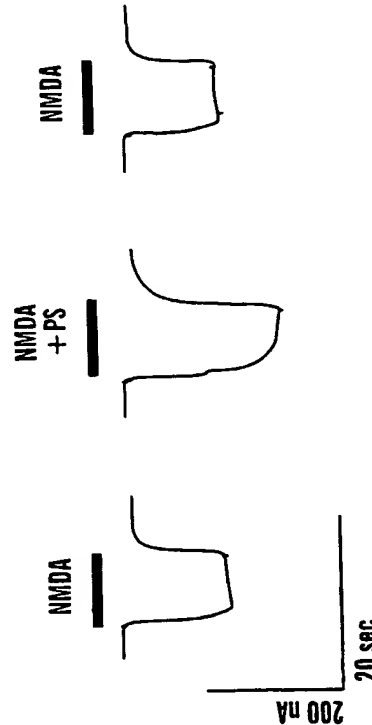
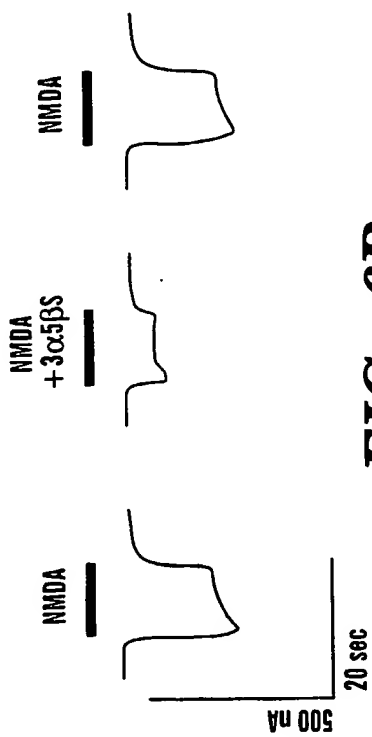
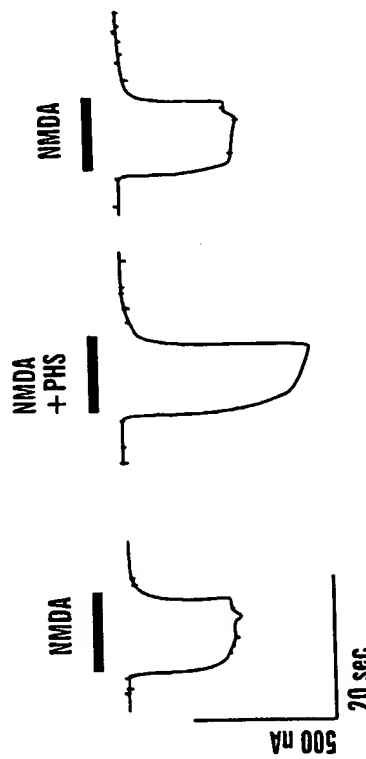
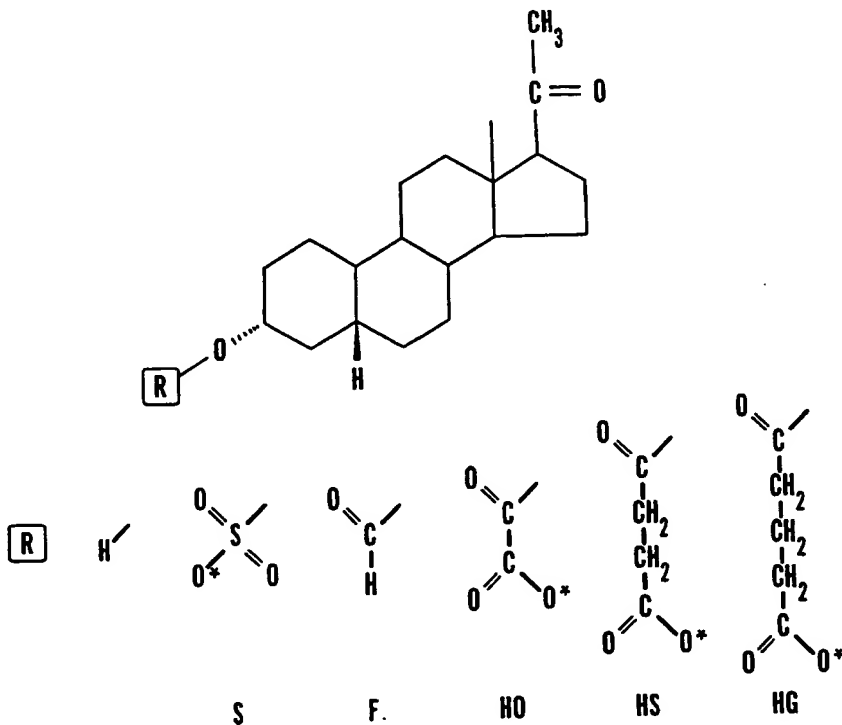
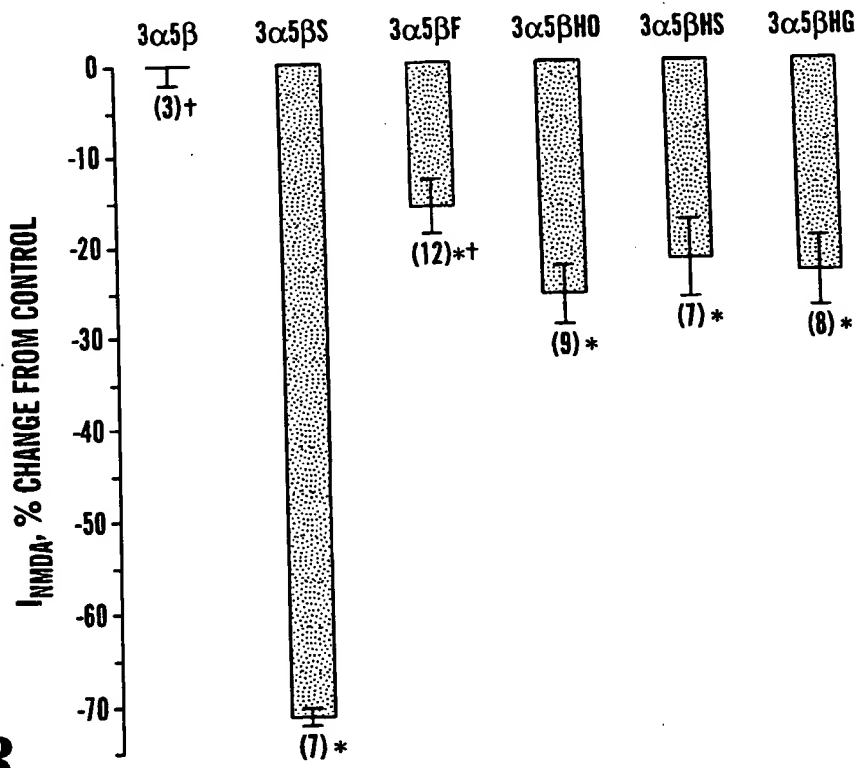


FIG. 6D

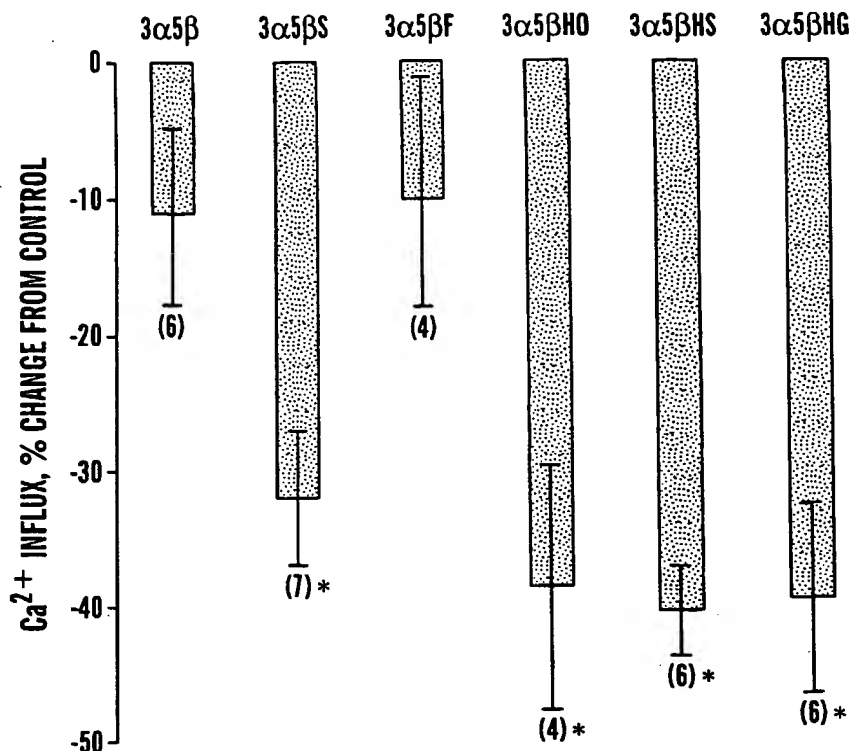




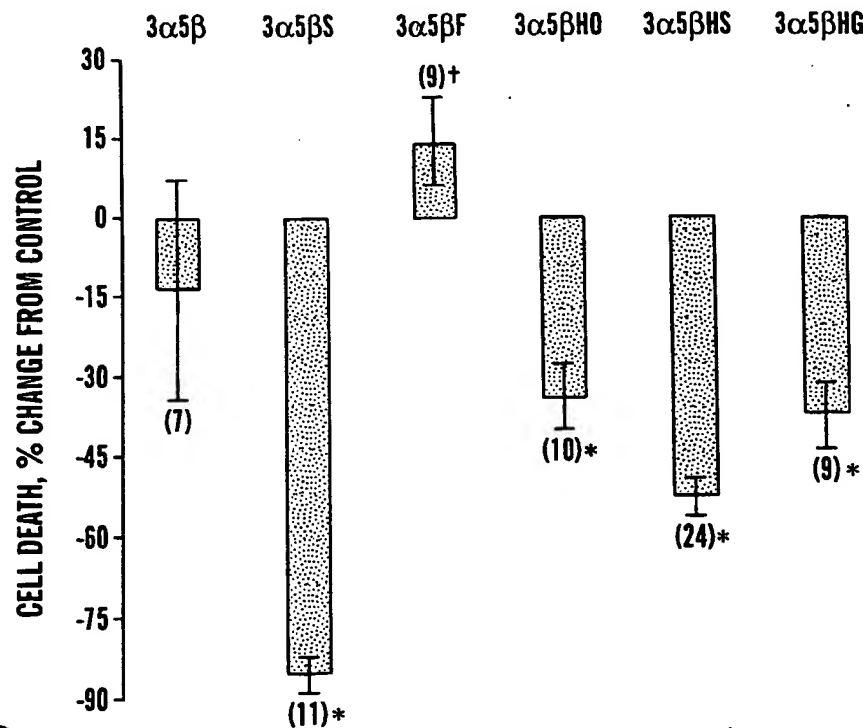
**FIG. 7A**



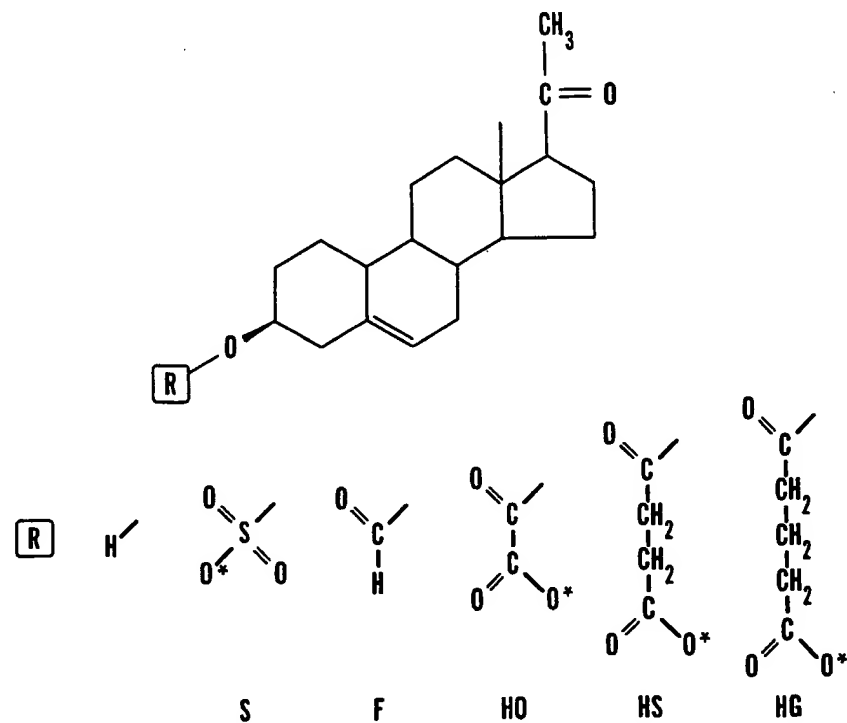
**FIG. 7B**



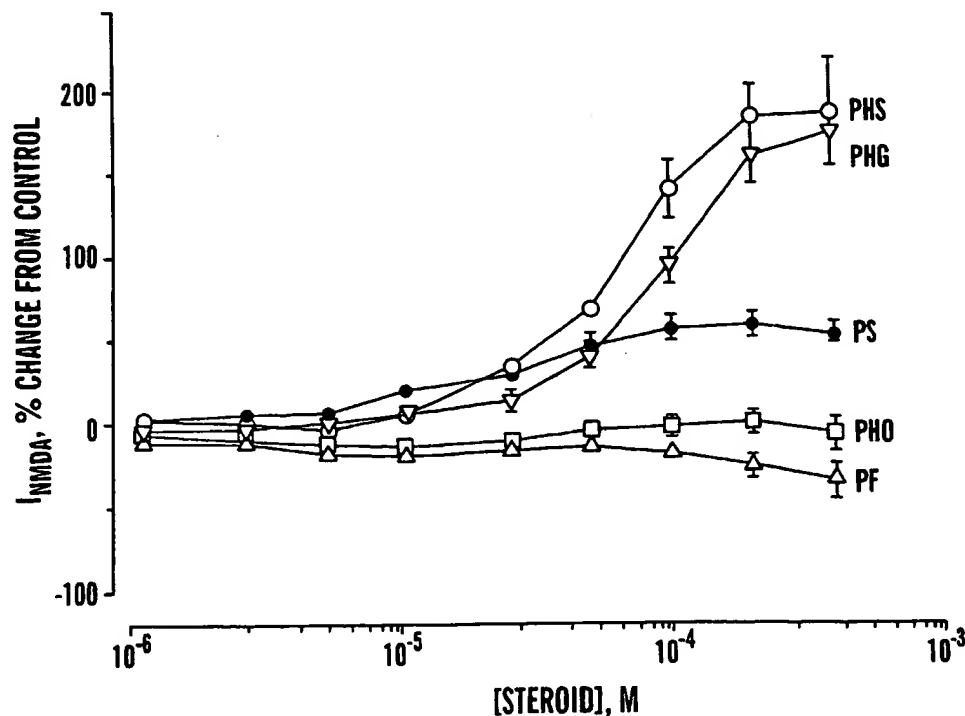
**FIG. 7C**



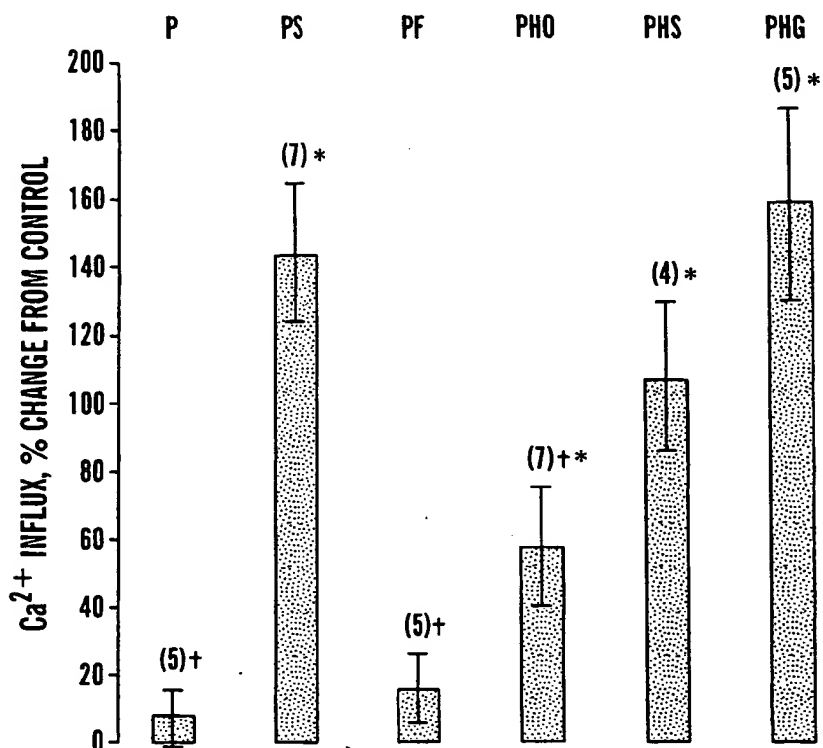
**FIG. 7D**



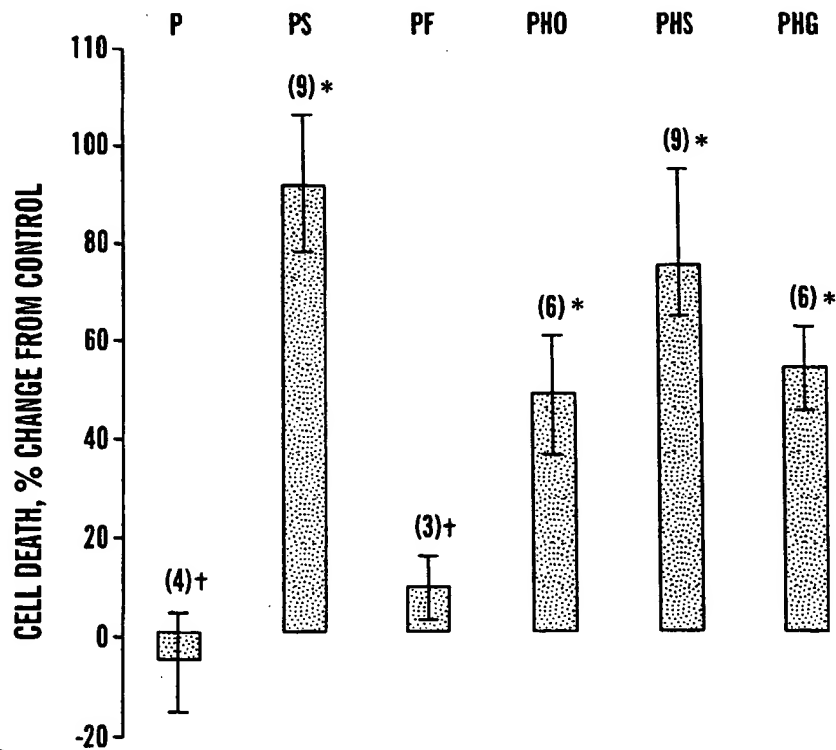
**FIG. 8A**



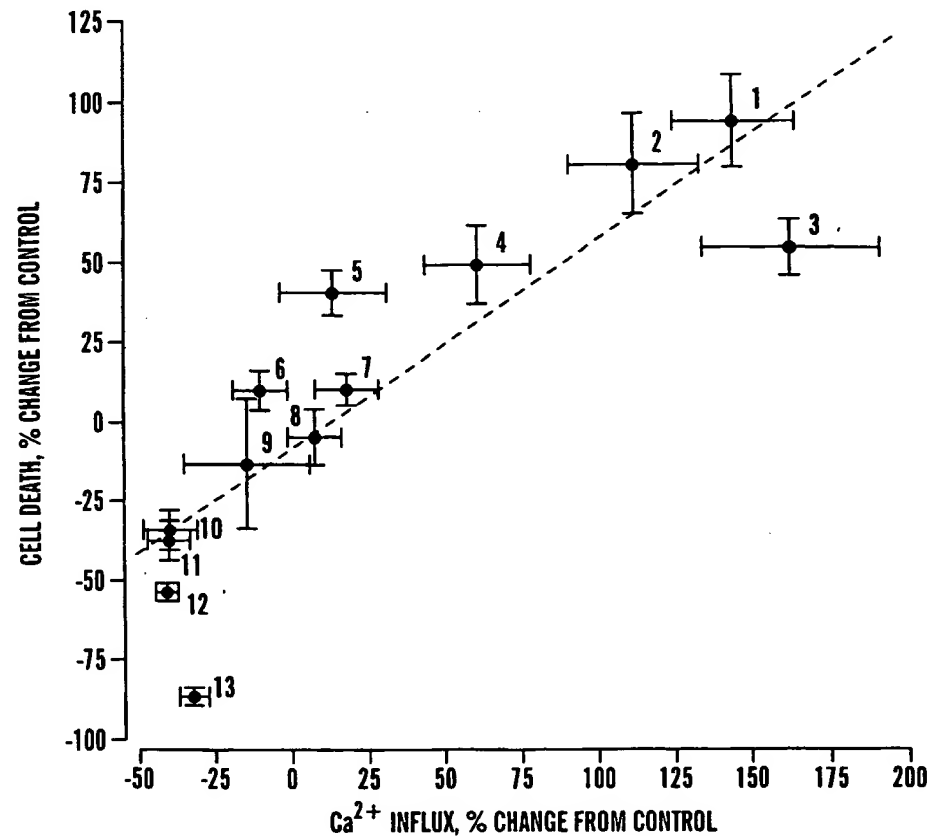
**FIG. 8B**



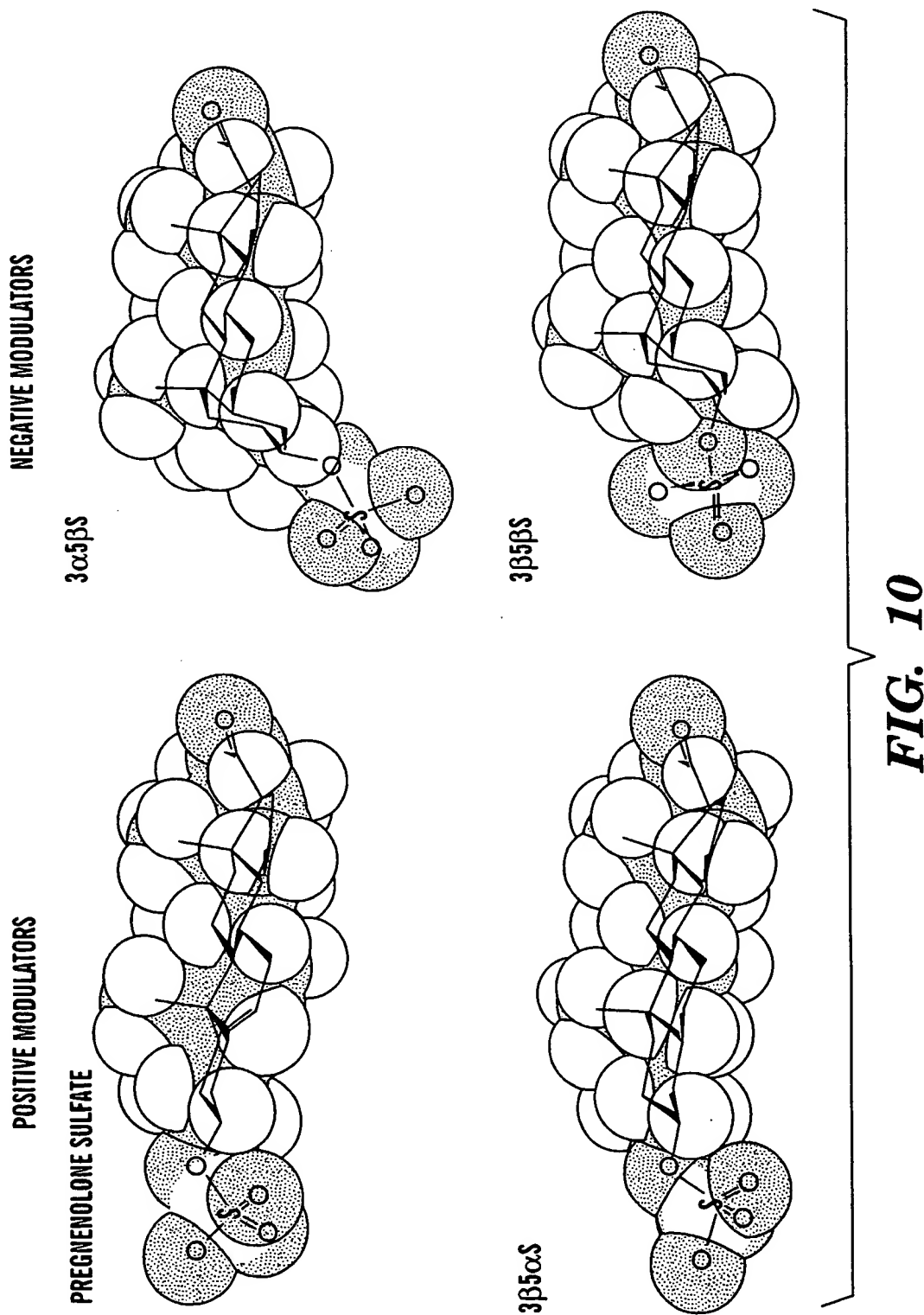
**FIG. 8C**



**FIG. 8D**



**FIG. 9**



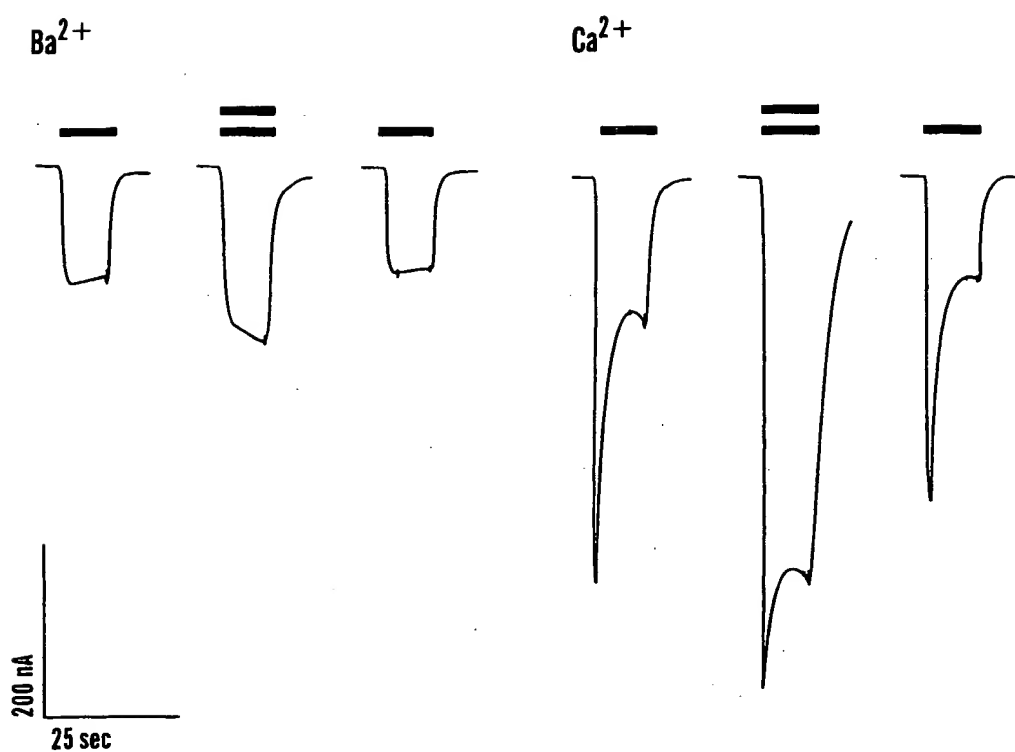
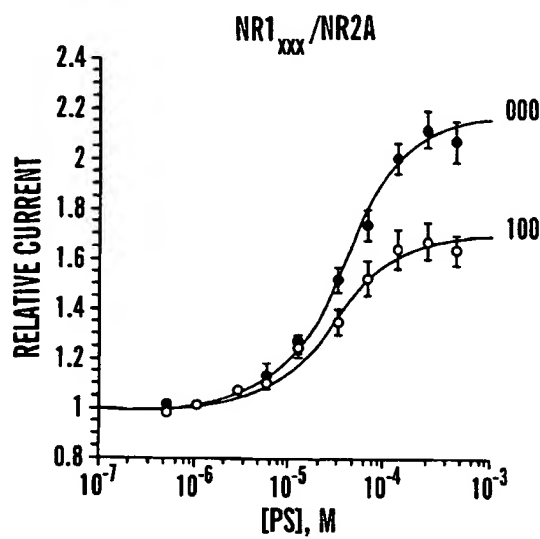
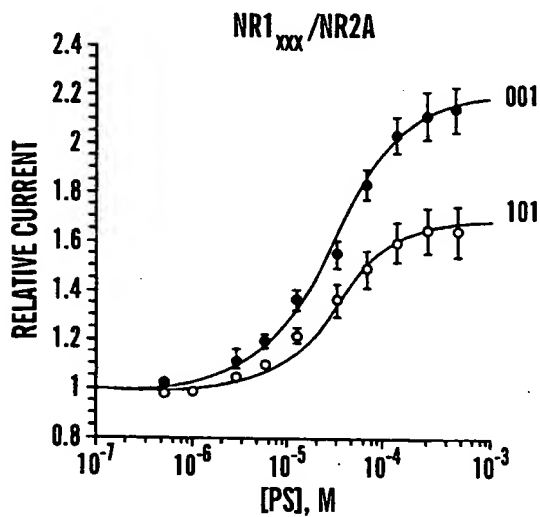


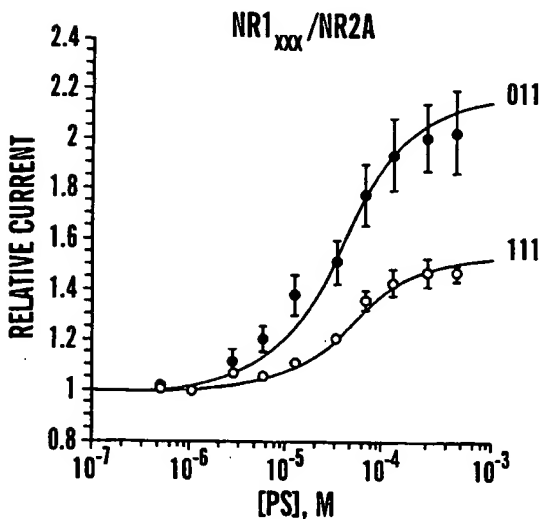
FIG. 11



**FIG. 12A**



**FIG. 12B**



**FIG. 12C**

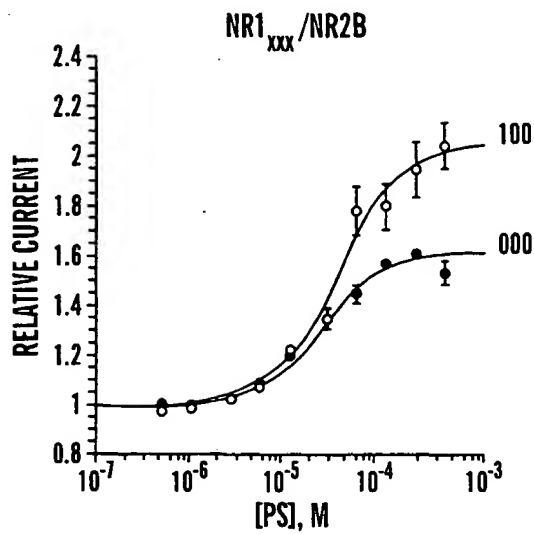


FIG. 13A

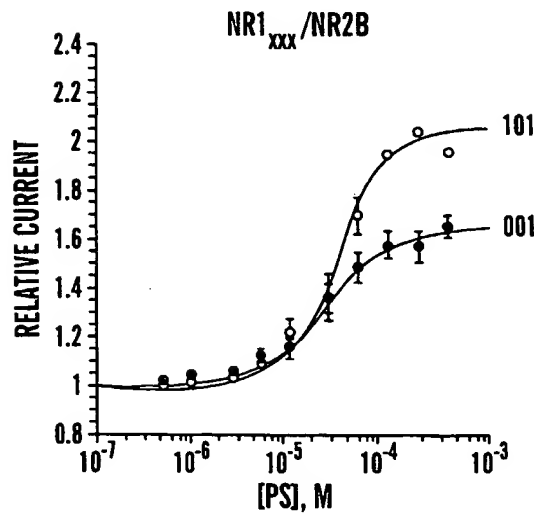


FIG. 13B

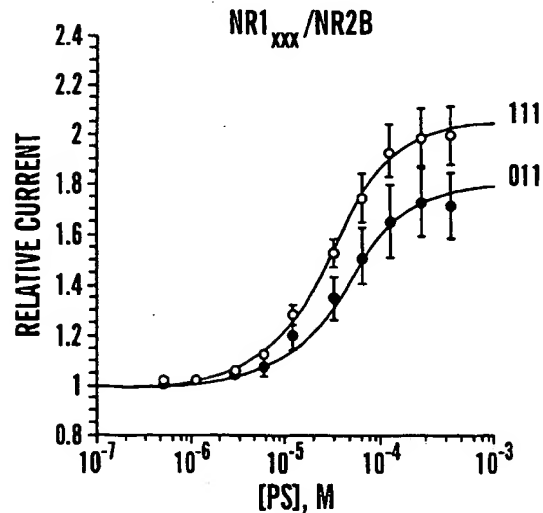
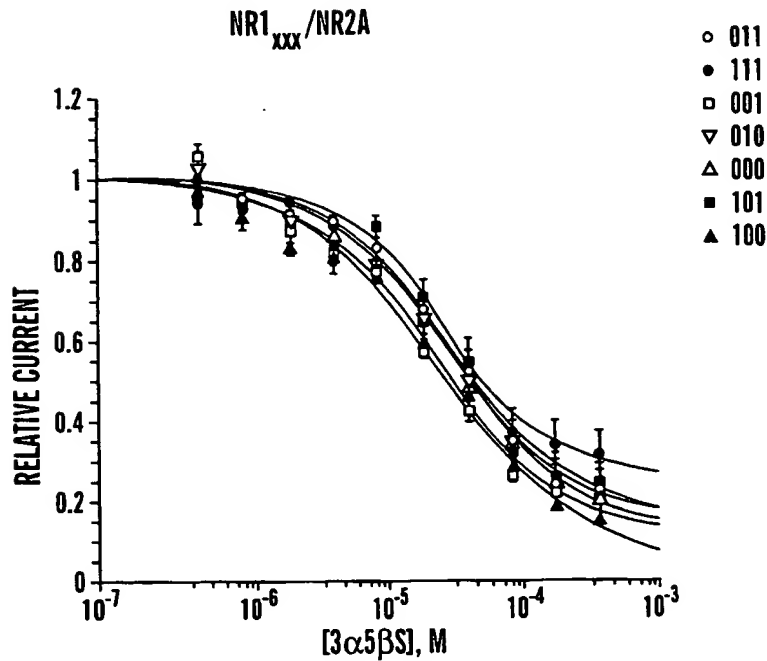
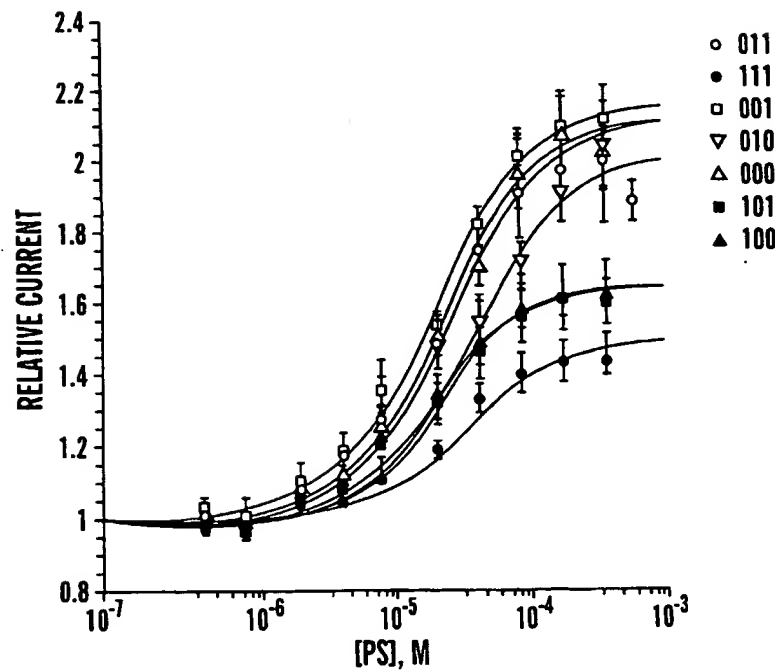
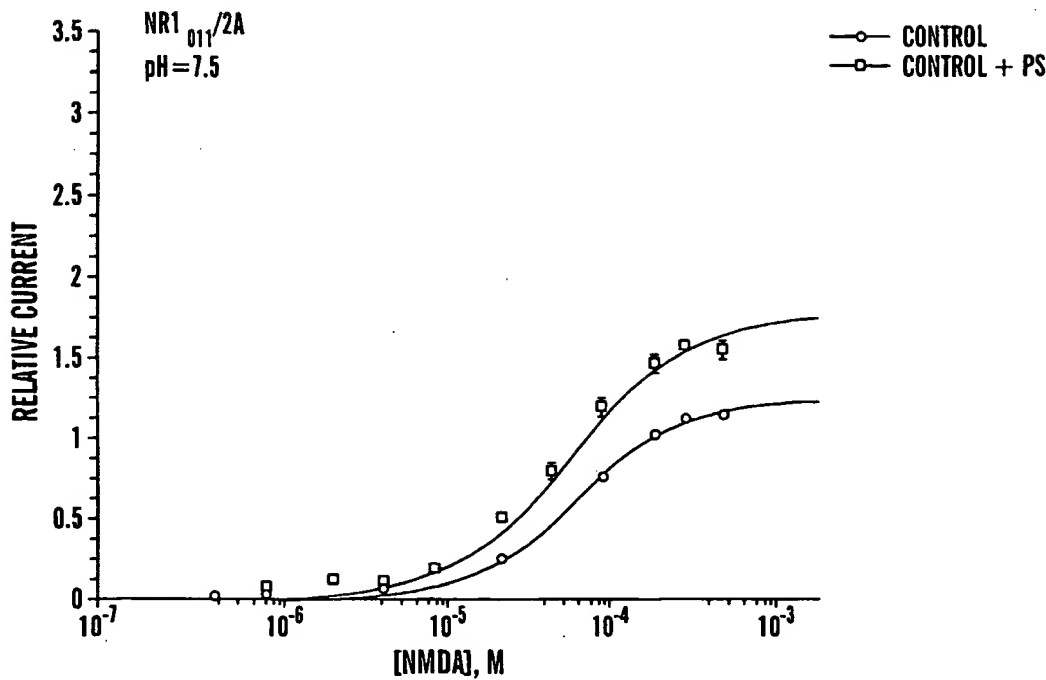
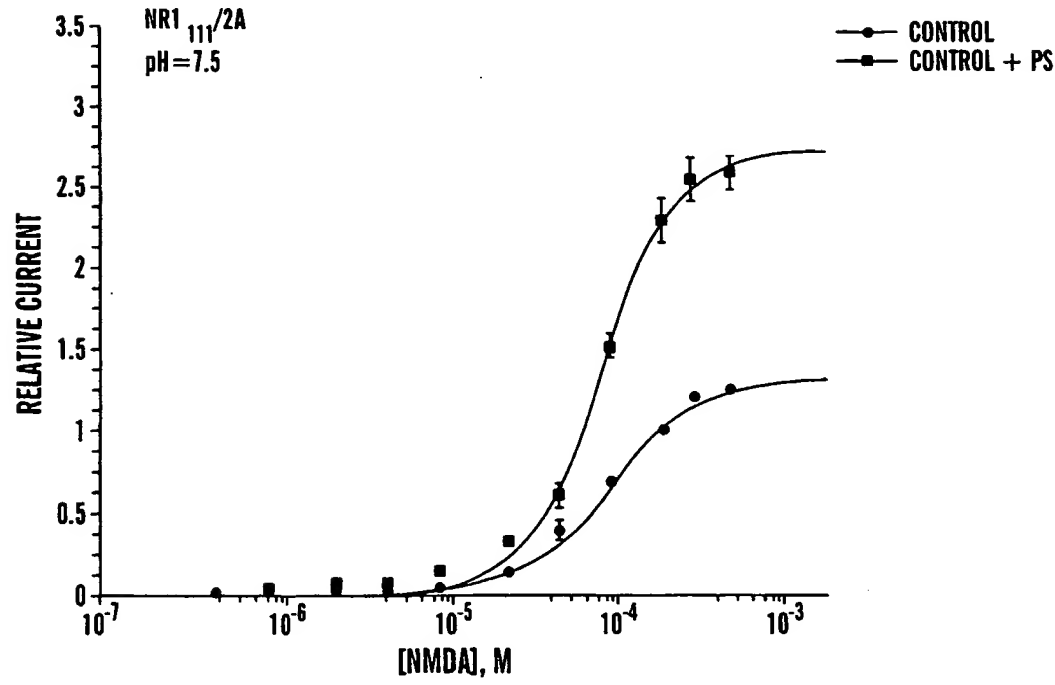


FIG. 13C

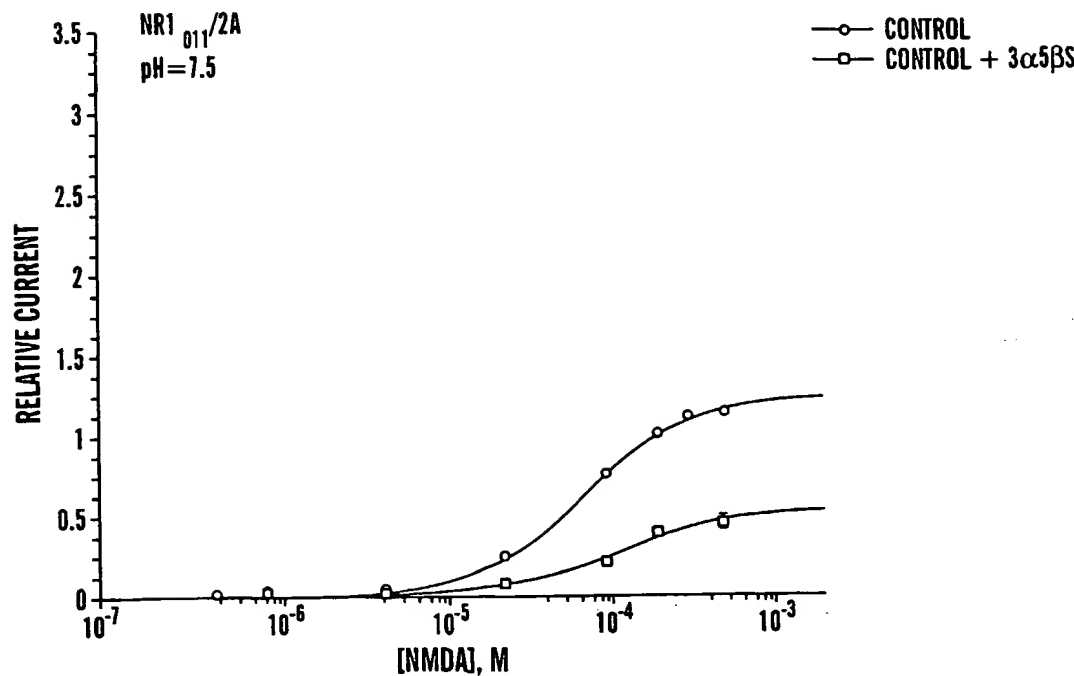
**FIG. 14A****FIG. 14B**



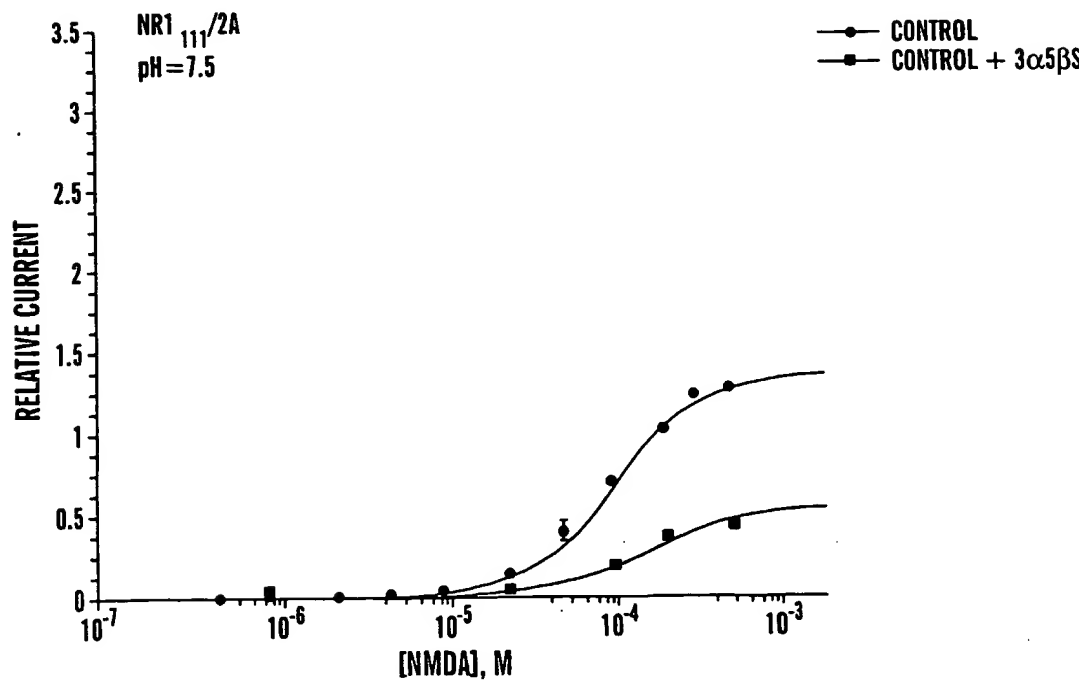
**FIG. 15A**



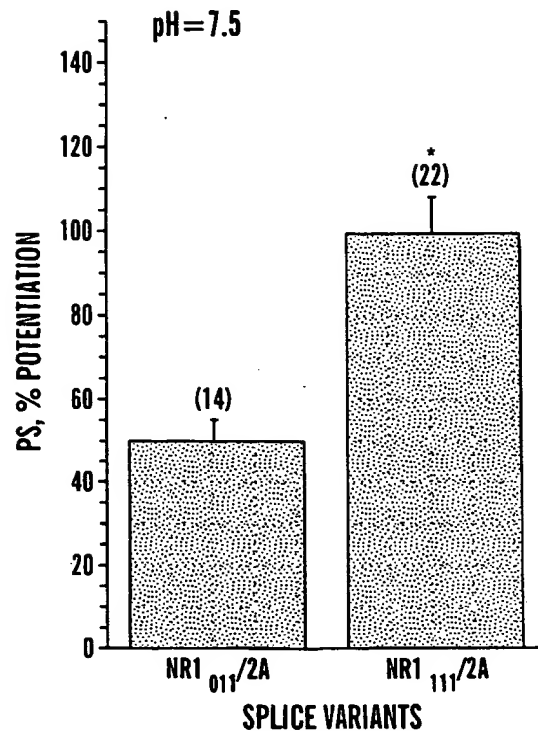
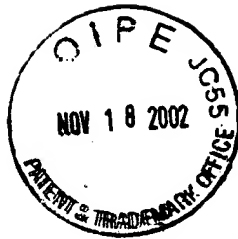
**FIG. 15B**



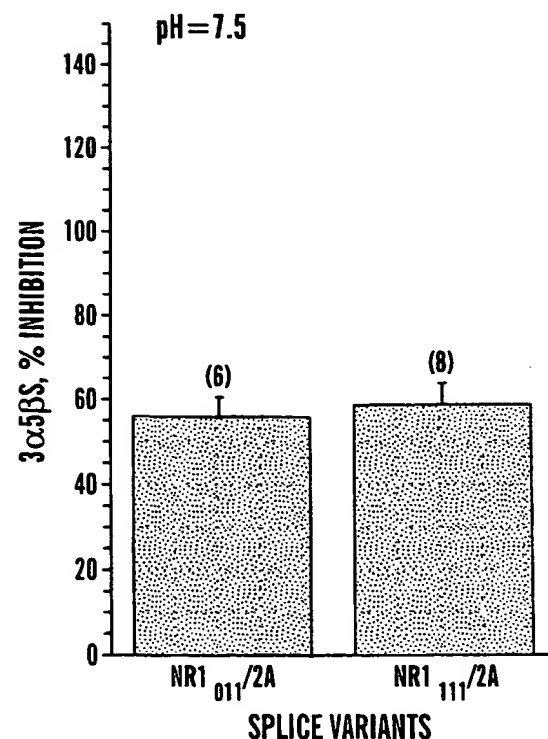
**FIG. 16A**



**FIG. 16B**



**FIG. 17A**



**FIG. 17B**

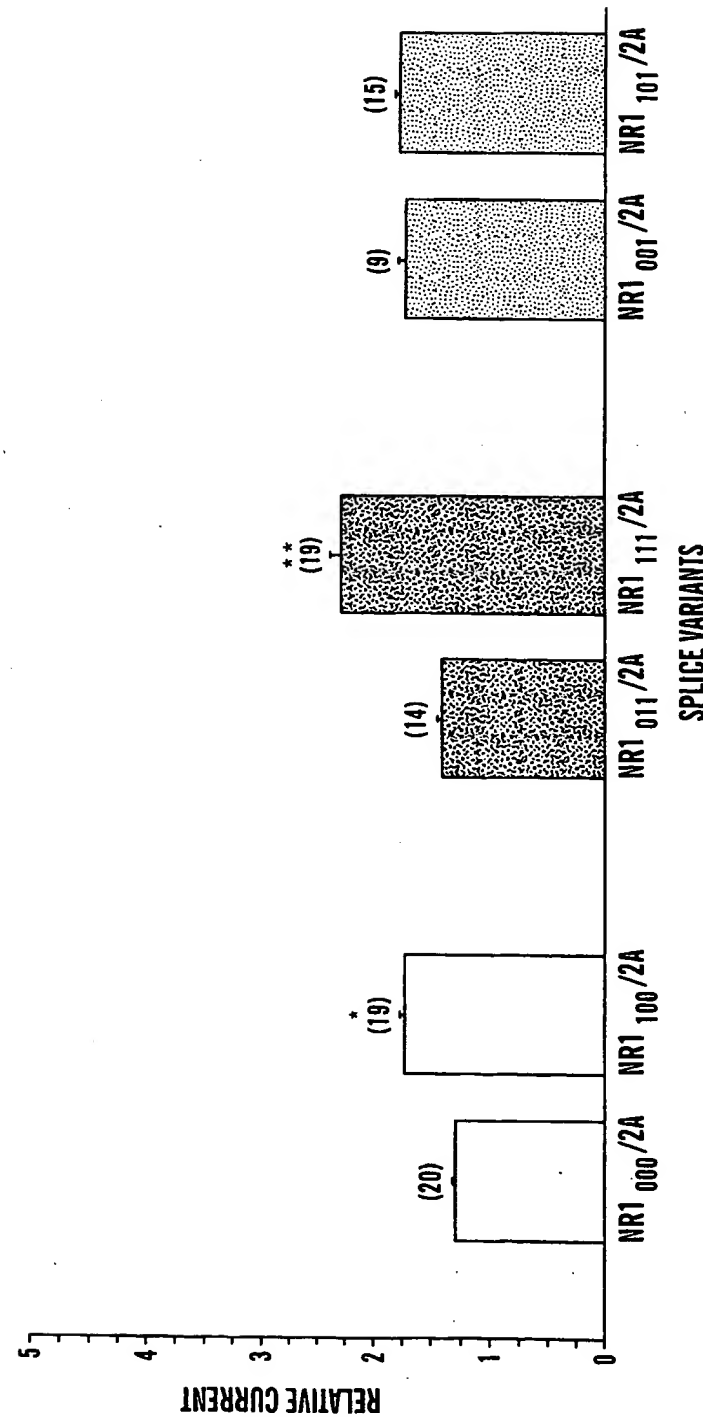
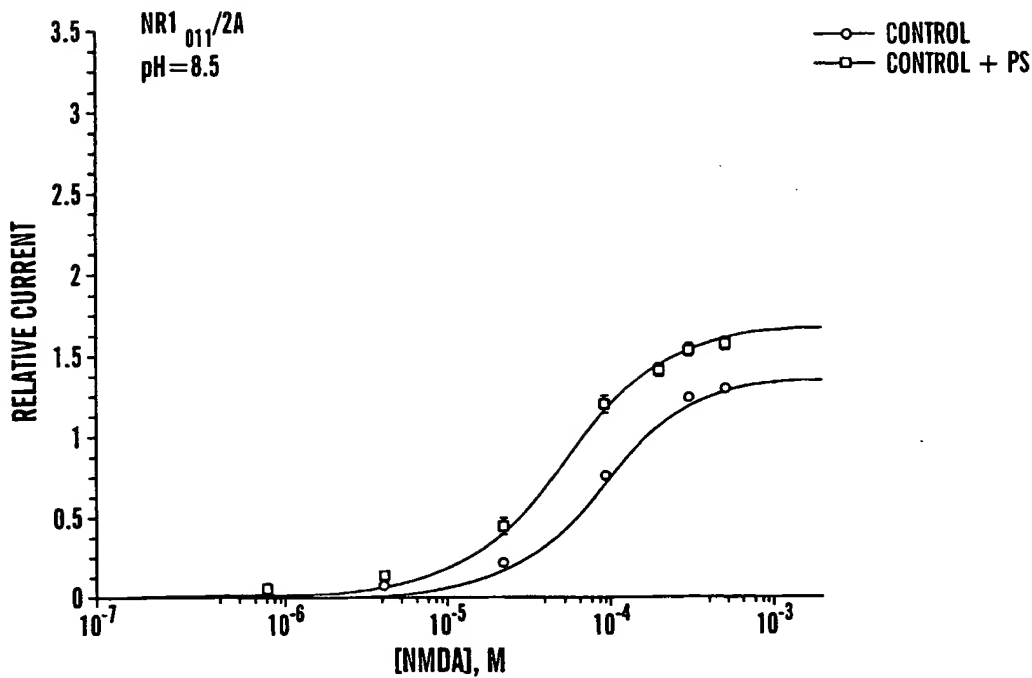
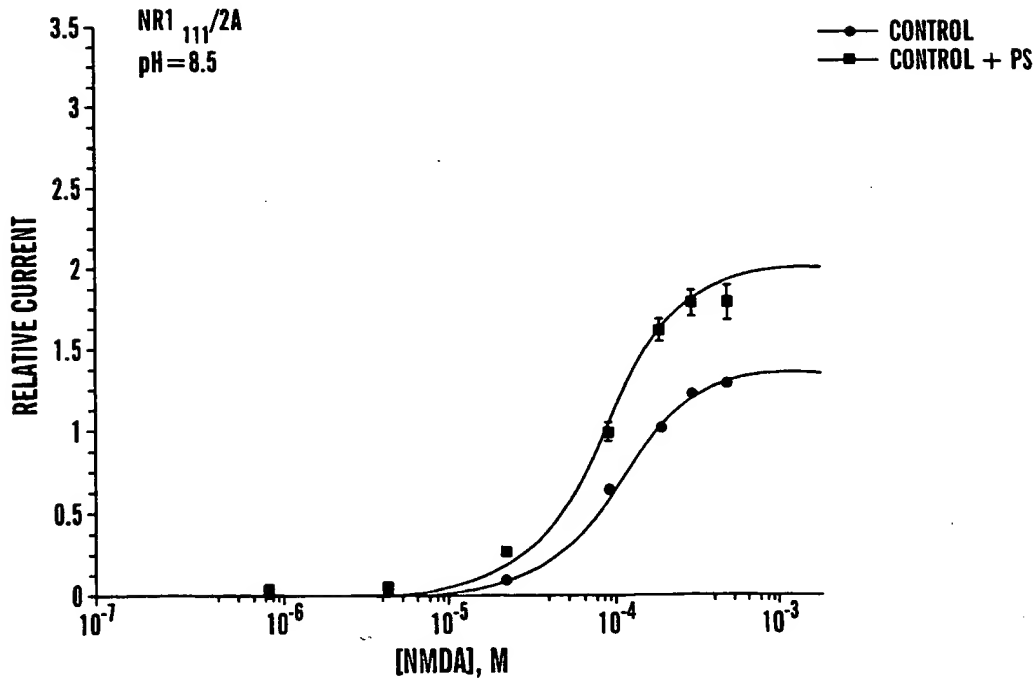


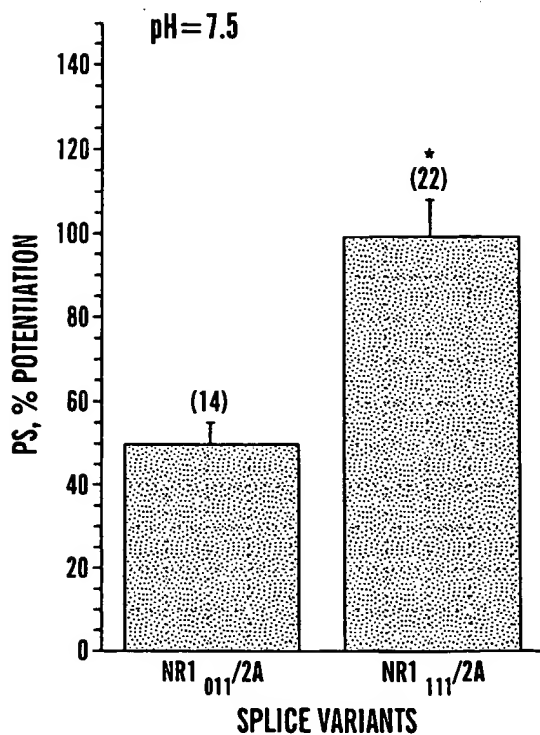
FIG. 18



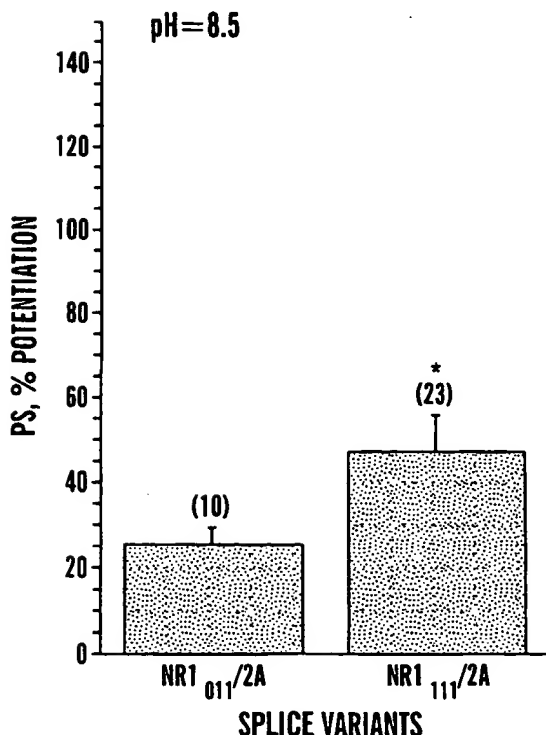
**FIG. 19A**



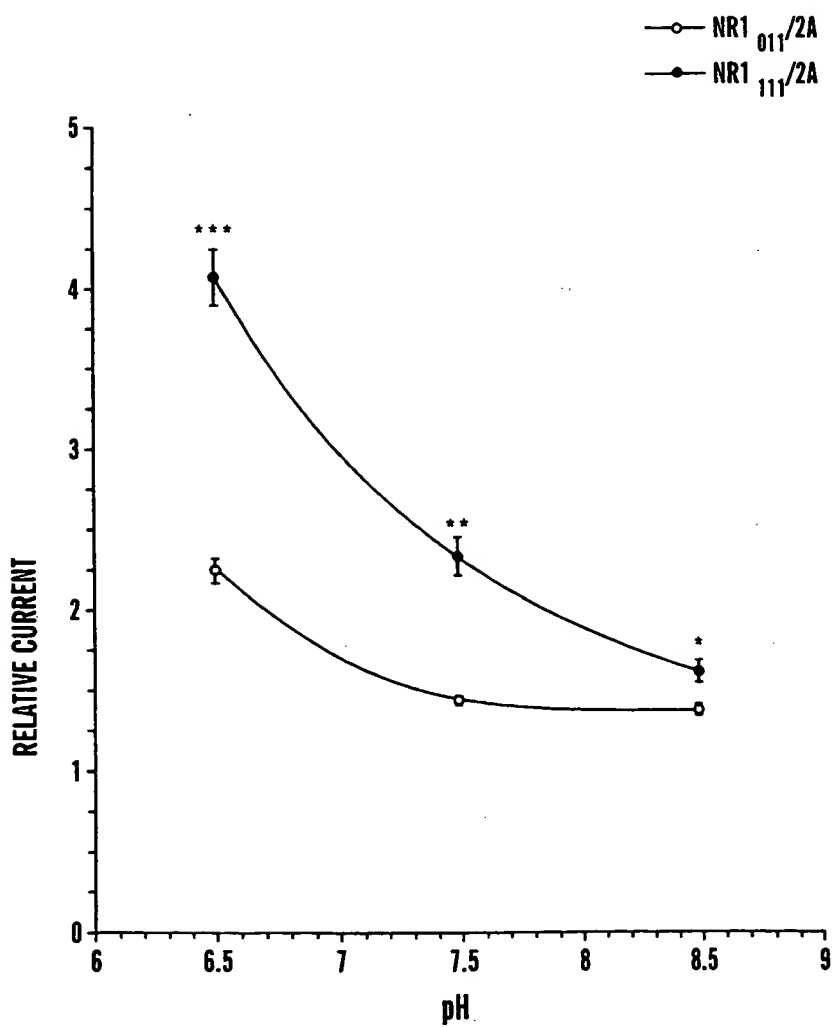
**FIG. 19B**



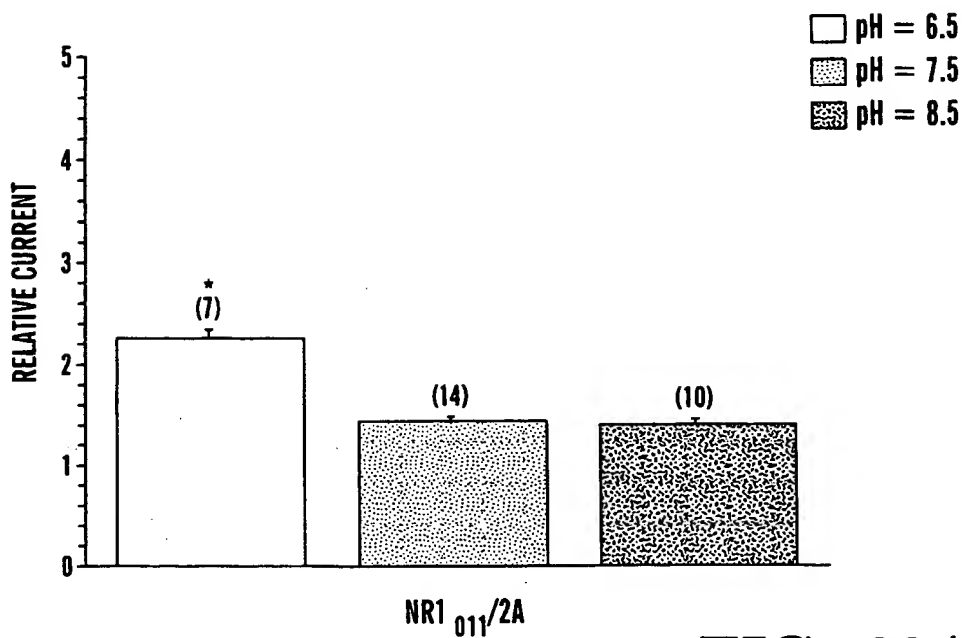
**FIG. 20A**



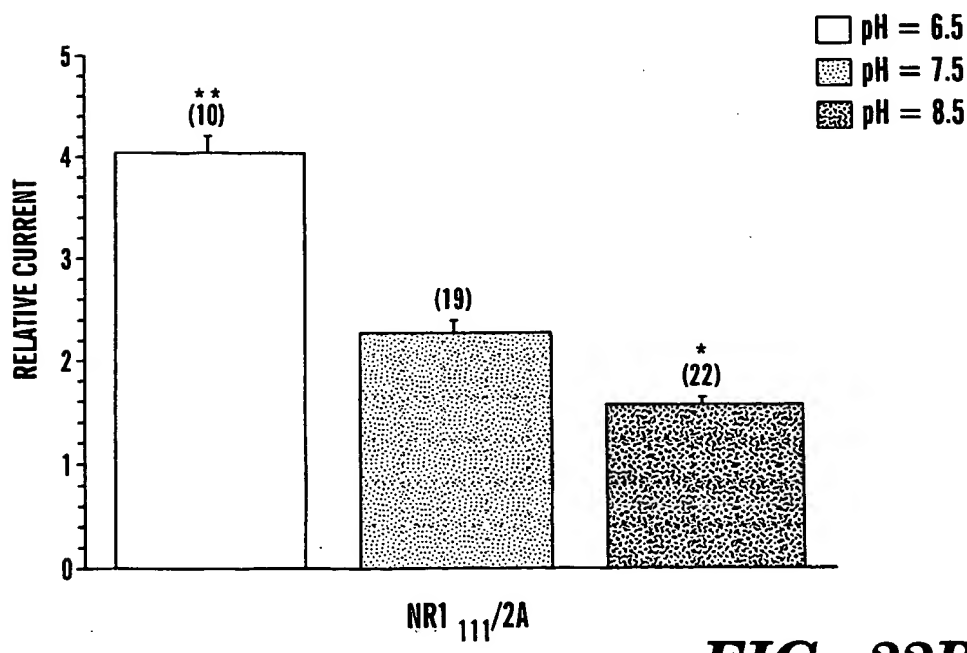
**FIG. 20B**



**FIG. 21**



**FIG. 22A**

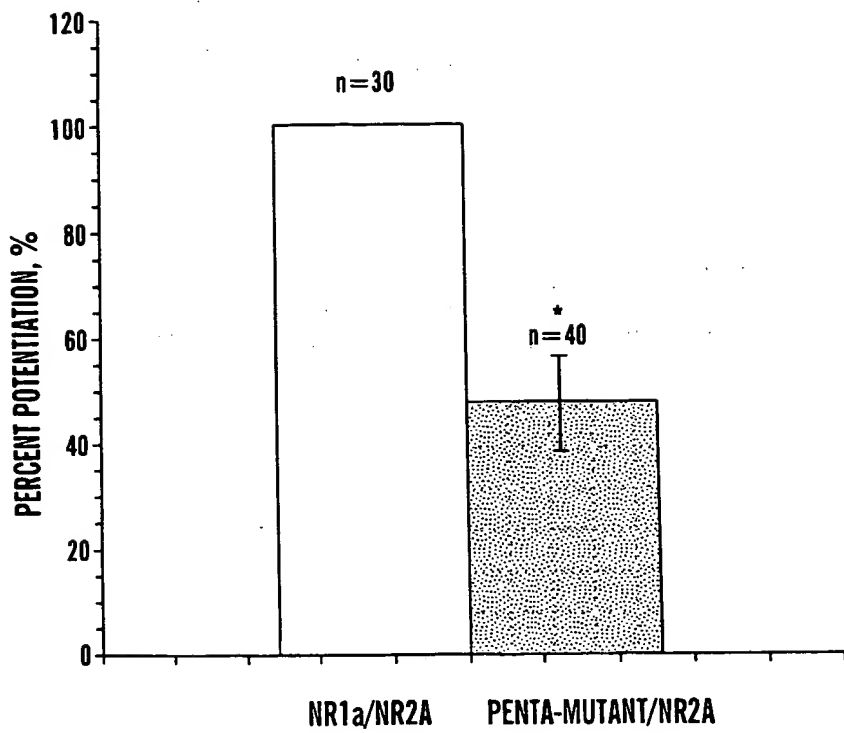


**FIG. 22B**



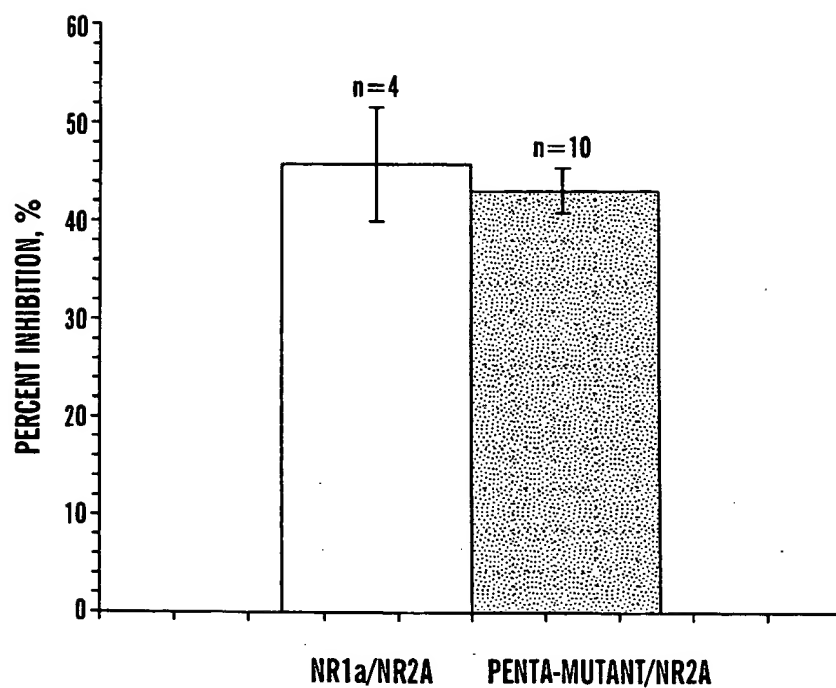
RXR- $\alpha$	<u>I</u> LE.AELA <b>E</b> P <b>K</b> T <b>E</b> T <b>Y</b> VEANM <b>G</b> l.NP <b>S</b> <b>S</b> P <b>N</b> D <b>P</b> <b>Y</b> T <b>N</b> IC.QA <b>A</b> D <b>K</b> Q <b>L</b> F <b>T</b> l	
RAR	LCQLGKYTTNSSADHRV <b>Q</b> LD <b>G</b> lWD <b>K</b> FS..ELAT <b>K</b> .C..I.I.K....I	
PR	IN.LLM.SIEPDV.IYAGHD.N.TKPDTS <b>S</b> SL <b>T</b> SL.NQLGERQLLSV	
GCR	VS.LLE.VIEPEV.LYAGYD.S.SVPD <b>S</b> TWRIM <b>T</b> TL.NMLGG <b>R</b> Q <b>V</b> IAA	
ER	S <b>A</b> LLD.A.E <b>P</b> PI.LYSEYD.P.TRPF <b>S</b> EA <b>S</b> MM <b>G</b> LLTN.LADRELVHM	
NR1011	<b>I</b> LLVSDDHEGRAA.QKR <b>L</b> ET <b>L</b> LEERESKA <b>E</b> KV <b>L</b> Q <b>F</b> .DP.GTK <b>N</b> Y <b>T</b> AL	207
	Δ Δ Δ	
RXR- $\alpha$	<b>V</b> .EWAKRIPH.FSELPL..DDQVILL <b>R</b> AGWNELLIA..SF <b>S</b> HR.SIA	
RAR	<b>V</b> .EFAK <b>R</b> lPG.FTGLSI..ADQIT <b>L</b> KA <b>A</b> CL <b>D</b> IL <b>M</b> l..RICTR.YTP	
PR	<b>V</b> .KWSK <b>S</b> lPG.FRN <b>L</b> HI..DDQIT <b>L</b> IQYSW <b>M</b> .SLMV.FGLG <b>W</b> R.SYK	
GCR	<b>V</b> .KWA <b>K</b> AI <b>P</b> G.FRN <b>L</b> HL..DDQMT <b>L</b> IQYSW <b>M</b> .FL <b>M</b> A.FALG <b>W</b> R.SYR	
ER	I.NWAKRVPG.FVD <b>L</b> TL..HDQVHL <b>E</b> CA <b>W</b> LE <b>I</b> LM <b>I</b> ..GL <b>V</b> WR.SME	
NR1011	LME.ARE <b>L</b> EAR <b>V</b> IILSASE <b>D</b> DA <b>A</b> T <b>V</b> Y <b>R</b> AA <b>M</b> .LNMTGSG <b>Y</b> VWL <b>V</b> GER	252
	Δ Δ	
RXR- $\alpha$	V <b>K</b> D <b>G</b> .I <b>L</b> .L <b>A</b> T <b>G</b> .L <b>H</b> .V <b>H</b> R.N	
RAR	<b>E</b> QDT.MT.FSDG.LT. <b>L</b> NR	
PR	H <b>V</b> SG <b>Q</b> MLY <b>F</b> APD.L <b>I</b> .I...N	
GCR	Q <b>S</b> AN <b>L</b> LC <b>F</b> APD.L <b>I</b> .I...N	
ER	H.PG <b>K</b> LL.FAPN.LL.LDR.N	
NR1011	<b>E</b> ISGNALRYAPP <b>G</b> I <b>I</b> GLQLIN	273

**FIG. 23**



**FIG. 24**

O 1 P E  
NOV 16 2002  
JC55  
PROTEIN & PEPTIDE LABORATORY OFFICE  
S



**FIG. 25**

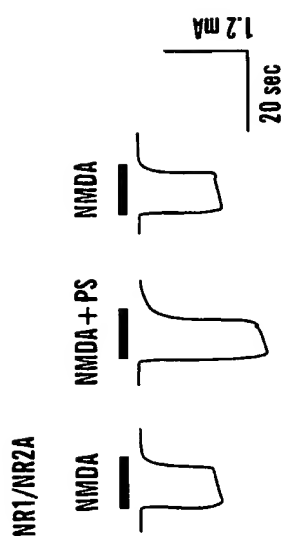


FIG. 26A

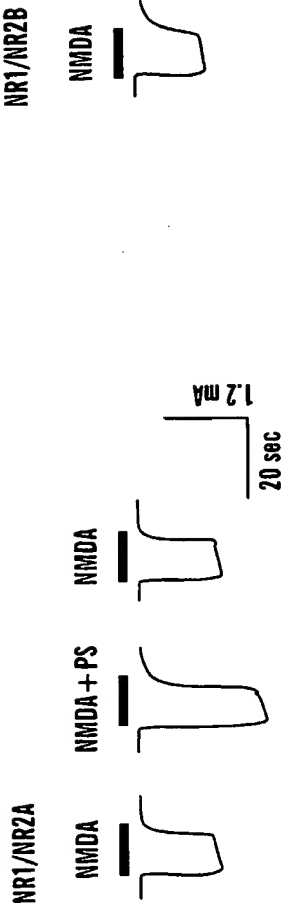


FIG. 26B

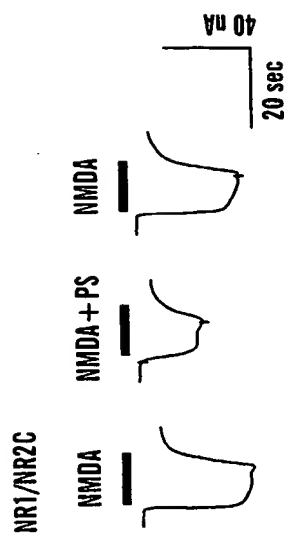


FIG. 26C

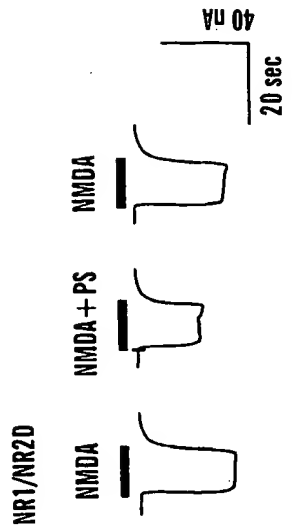


FIG. 26D



NOV 16 2002

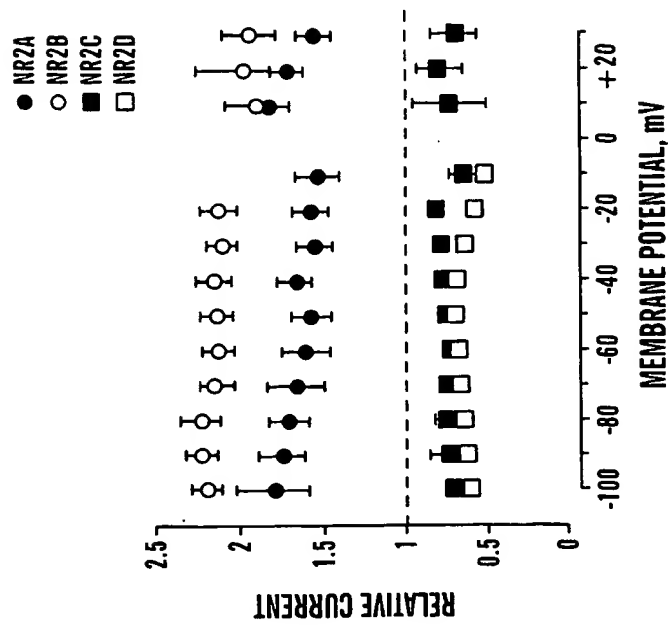


FIG. 26F

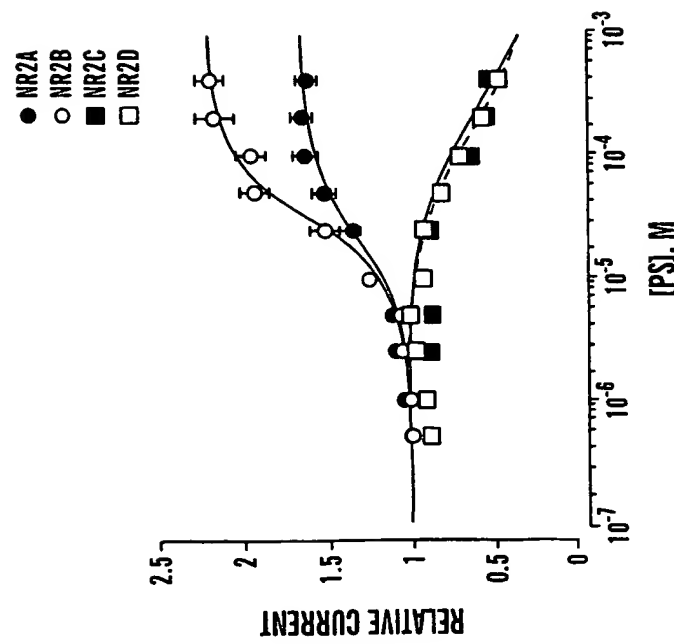


FIG. 26E

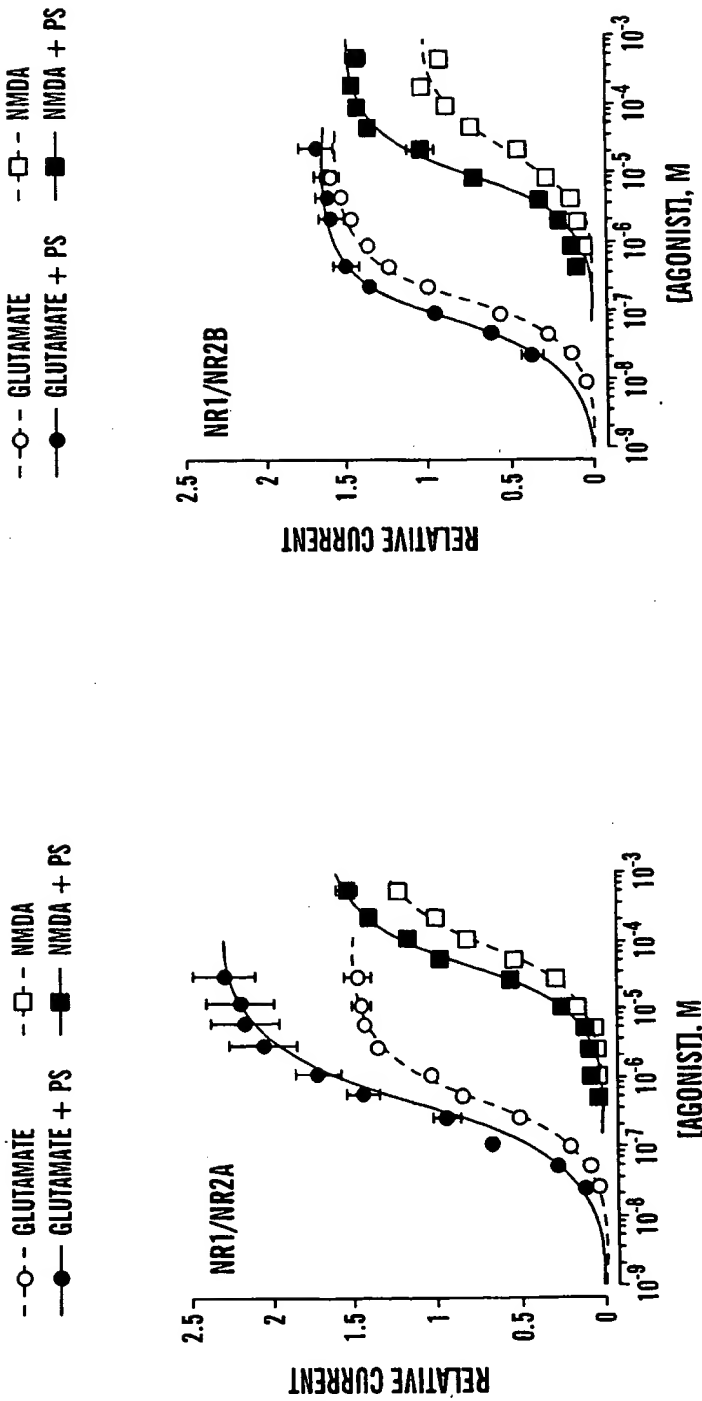


FIG. 27A

FIG. 27B

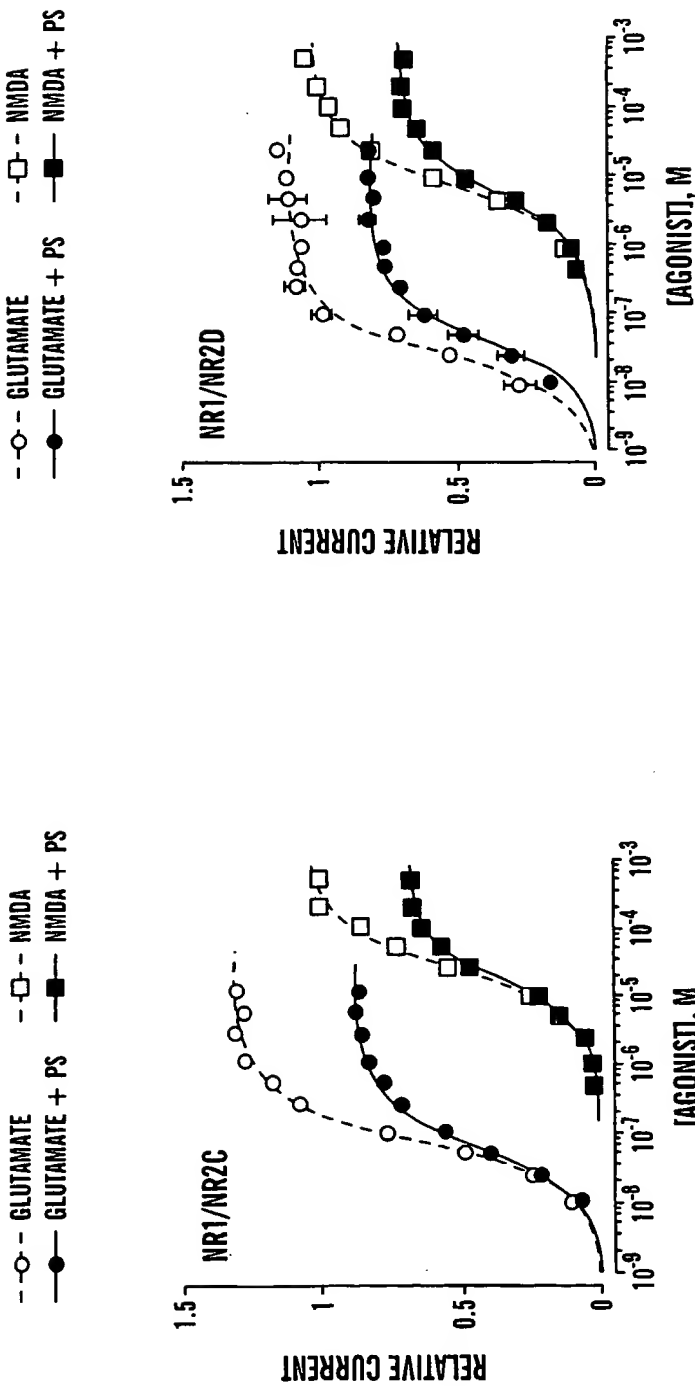


FIG. 27D

FIG. 27C

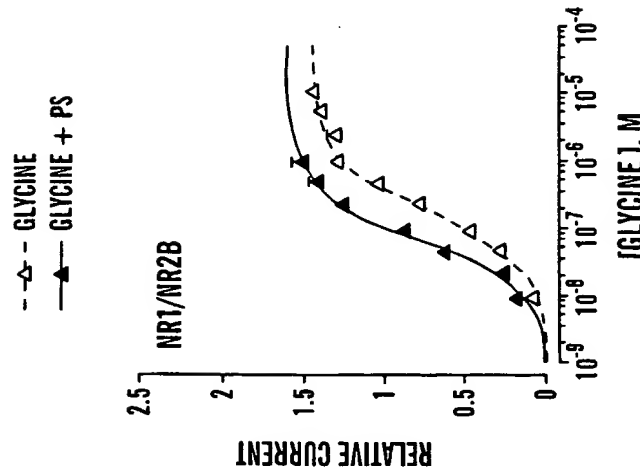


FIG. 28B

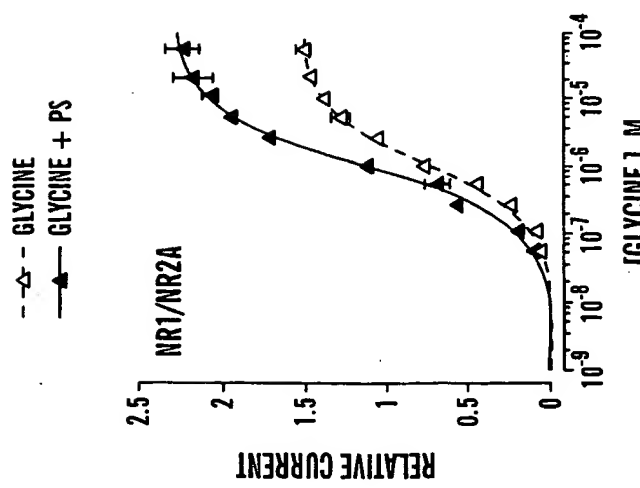


FIG. 28A

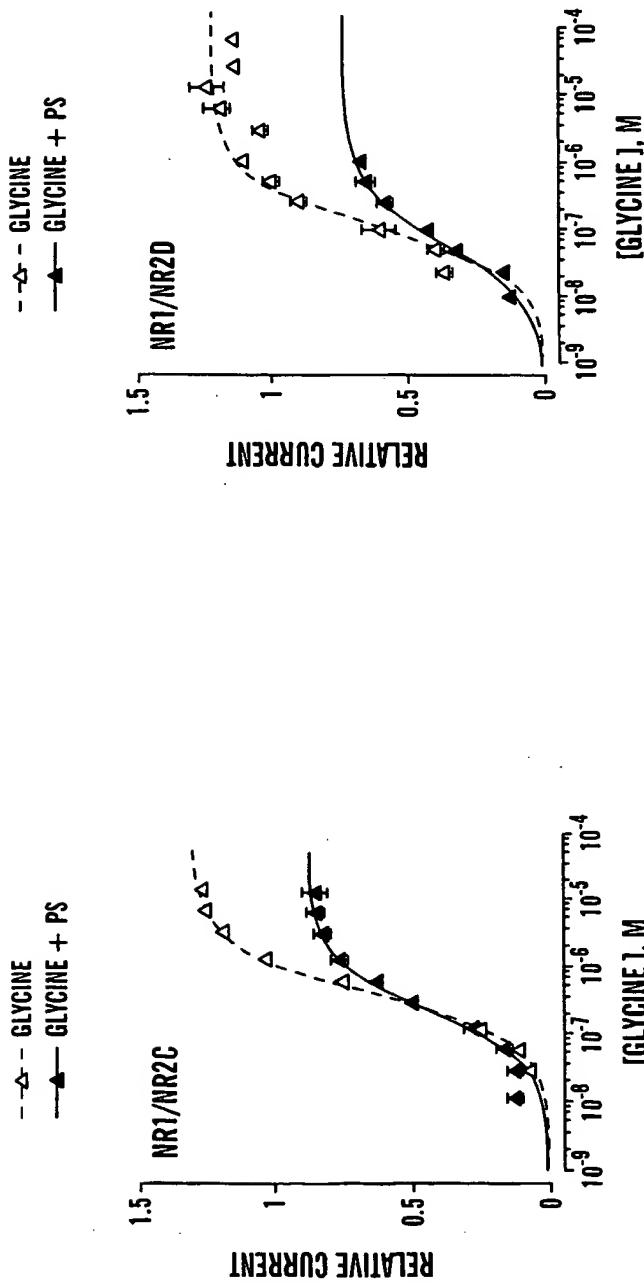


FIG. 28D

FIG. 28C

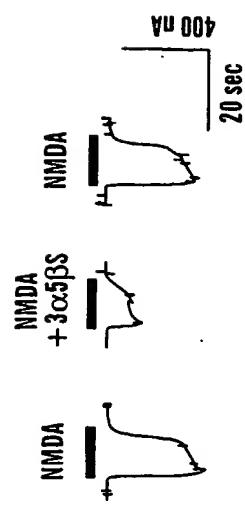
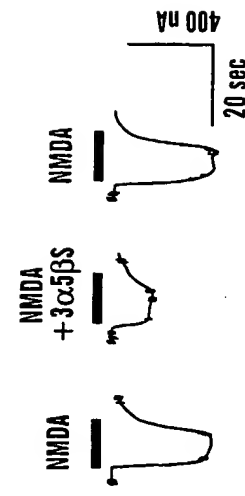


FIG. 29A



Page 37 of 45  
EFFECT OF STEROIDS ON NMDA RECEPTORS DEPENDS ON SUBUNIT COMBINATIONS  
Farb et al.  
09/652,345  
13594-010002

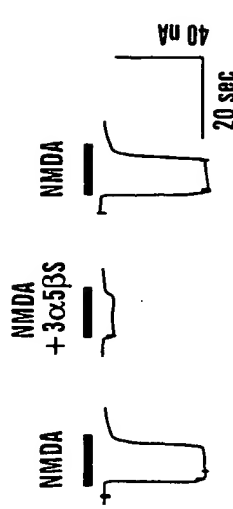


FIG. 29C

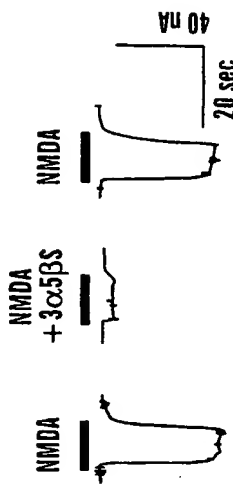


FIG. 29D

NOV 16 2002

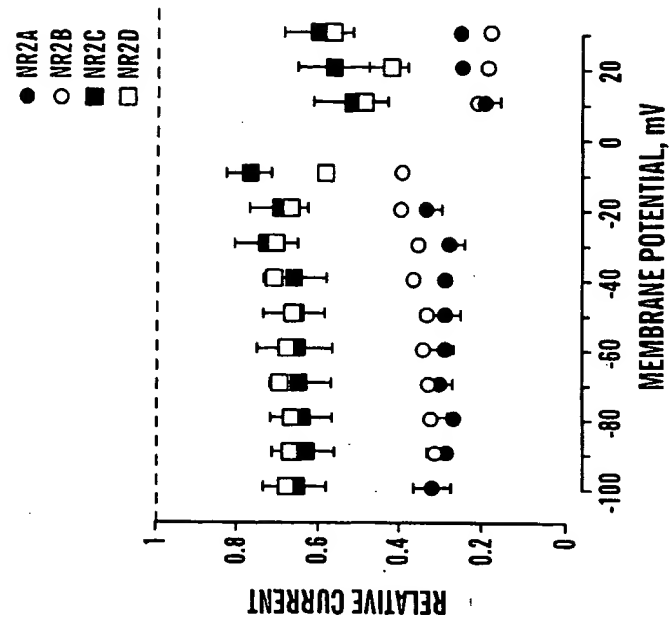


FIG. 29F

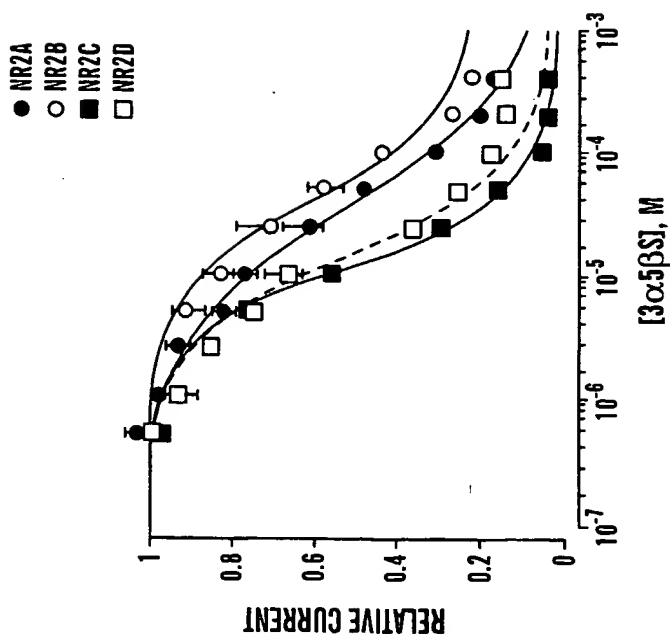


FIG. 29E

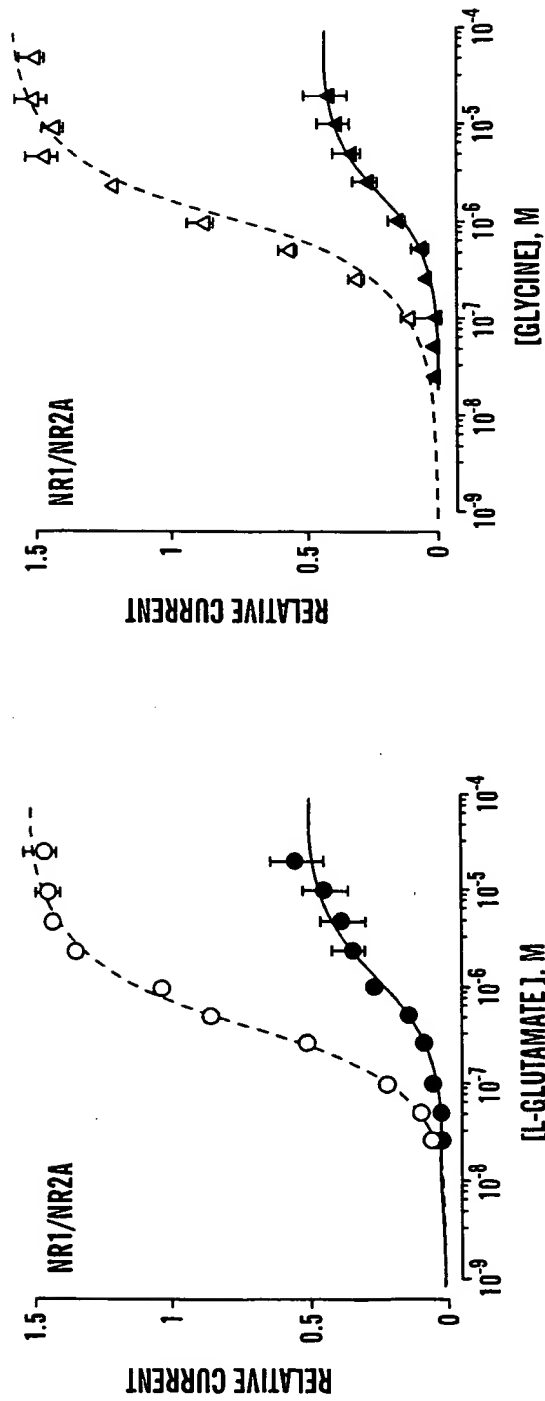


FIG. 29H

FIG. 29G

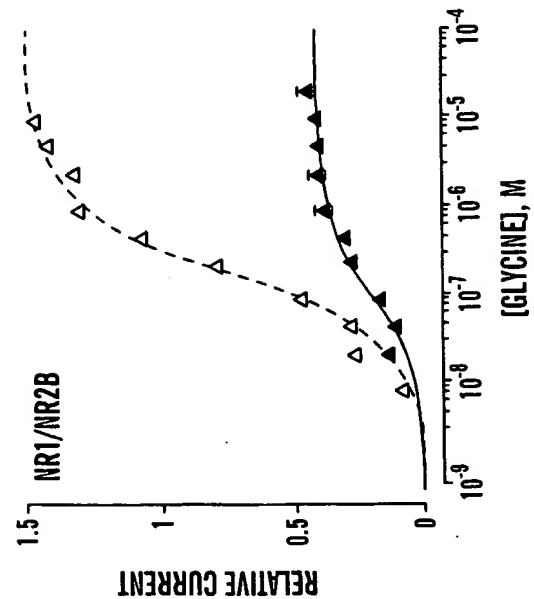


FIG. 29J

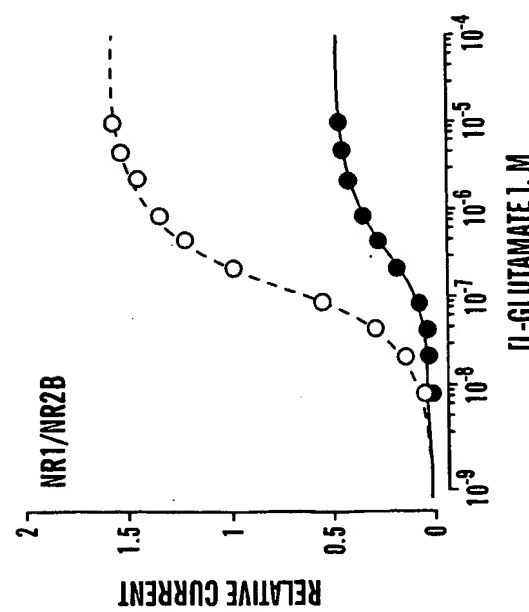


FIG. 29I

O I P E  
JCE 55  
NOV 18 2002  
U.S. PATENT & TRADEMARK OFFICE - SSG

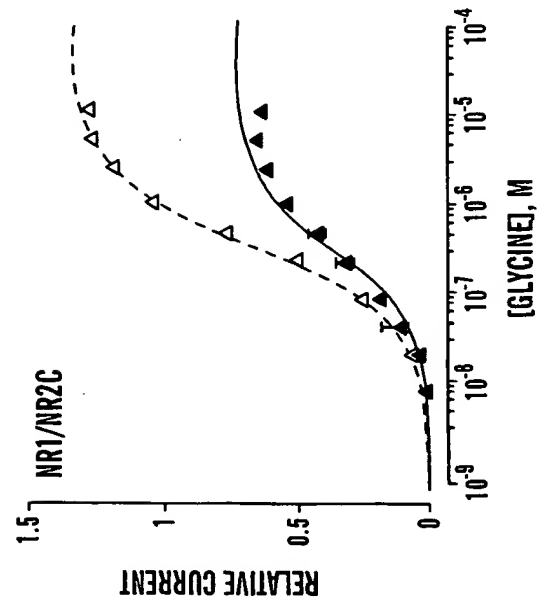


FIG. 29L

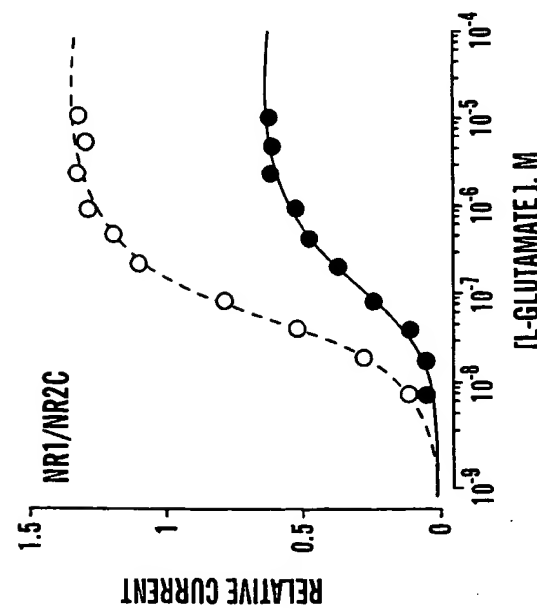


FIG. 29K

11/18/2002  
JCS  
11/18/2002  
11/18/2002

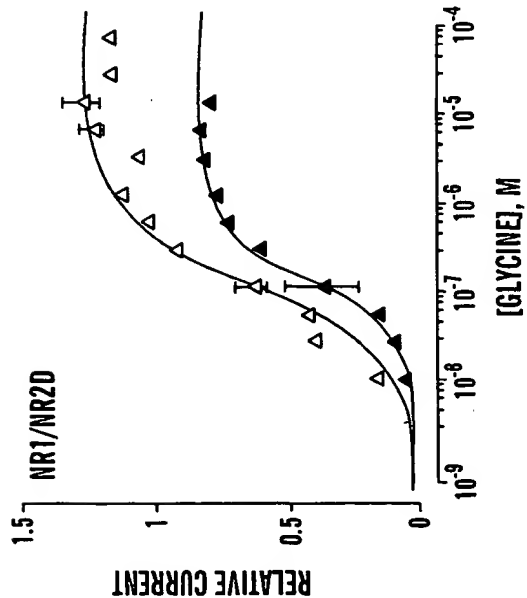


FIG. 29N

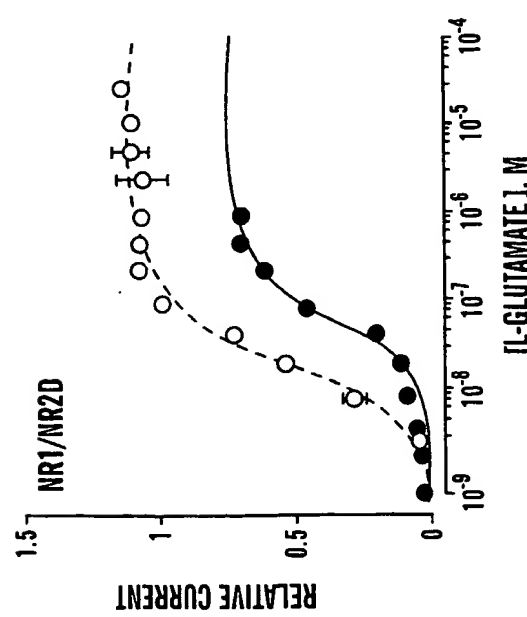
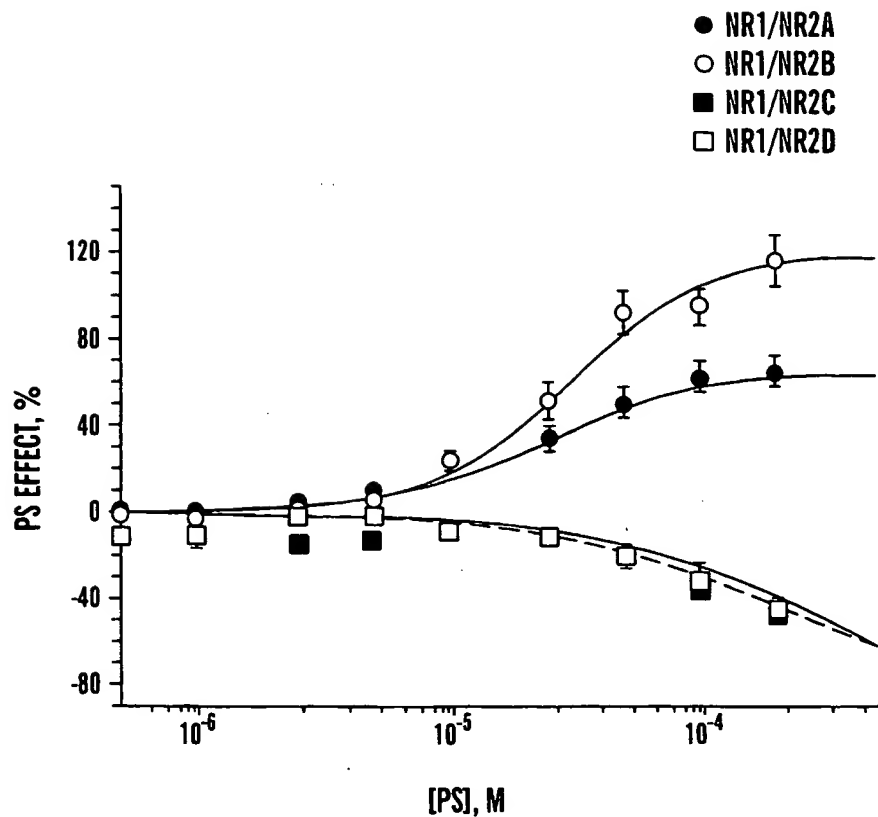


FIG. 29M



**FIG. 30**

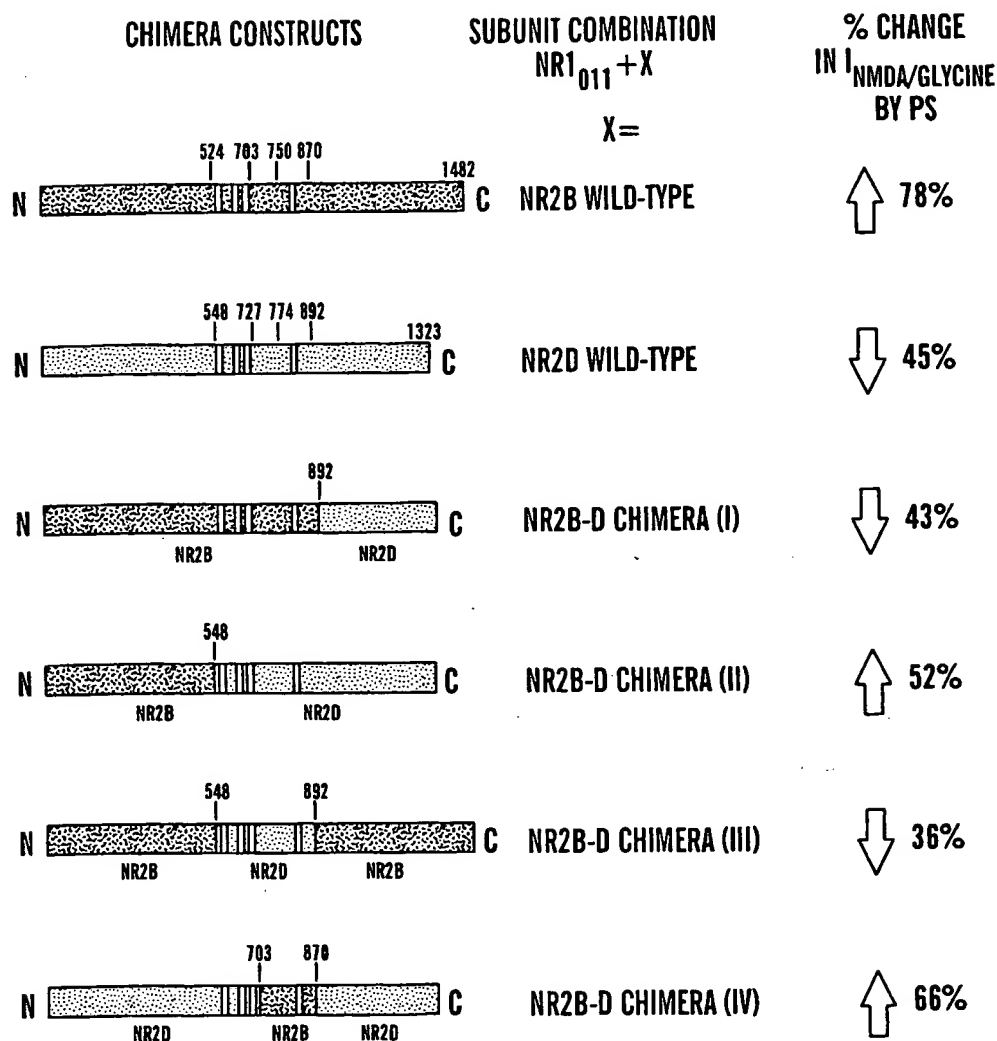
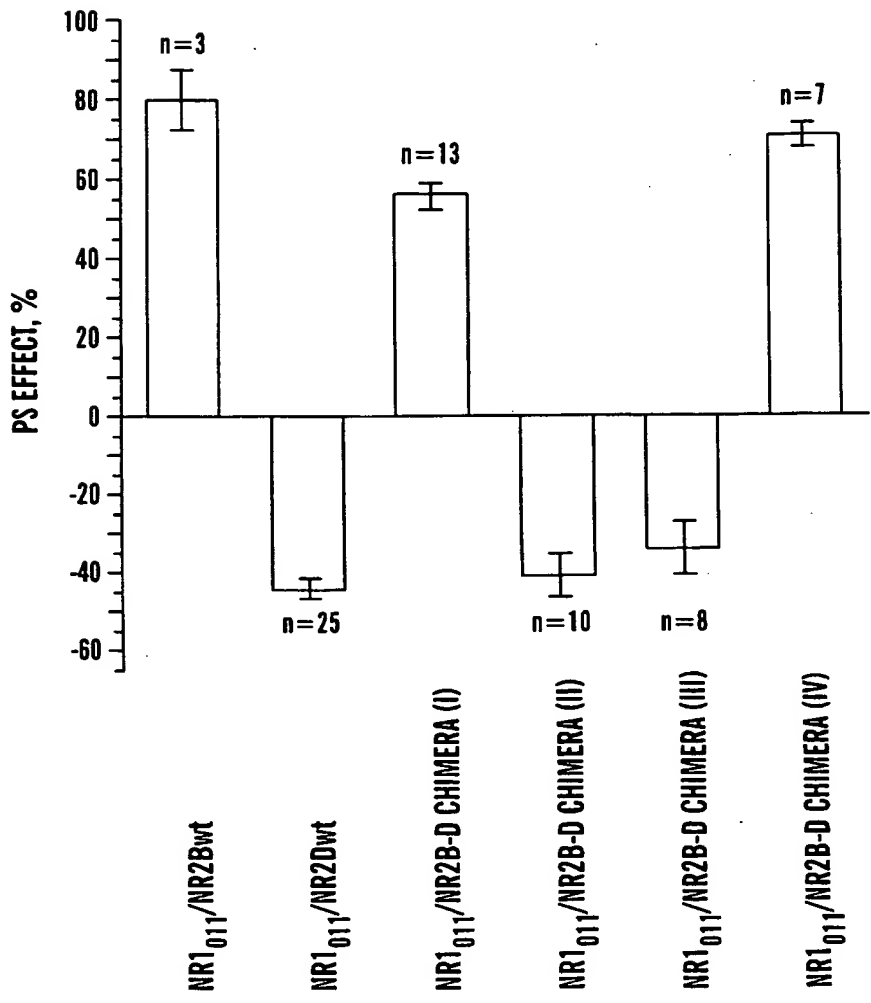
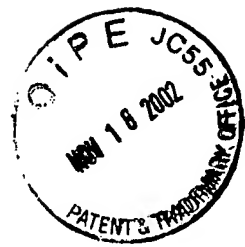


FIG. 31

СЕВЕРСКИЙ  
ДОНСКИЙ



**FIG. 32**

SEARCHED  
SERIALIZED  
INDEXED